

OPA830 低功耗、单电源、宽带运算放大器

1 特性

- 高带宽：
 - 250MHz (增益 = +1)
 - 110MHz (增益 = +2)
- 低电源电流：3.9mA ($V_S = 5V$)
- 灵活的电源电压范围：
 - 双电源：±1.4V 至 ±5.5V
 - 单电源：2.8V 至 11V
- 输入范围包括负单电源接地
- 输出摆幅：5V 电源上为 4.88V
- 高压摆率：550V/ μs
- 低输入电压噪声：9.2nV/ \sqrt{Hz}
- 封装：无铅 SOT23

2 应用

- 单电源模数转换器 (ADC) 输入缓冲器
- 单电源视频线路驱动器
- CCD 成像通道
- 低功耗超声波
- PLL 集成器
- 便携式消费类电子产品

3 说明

OPA830 是一款低功耗、单电源、宽带、电压反馈放大器，专为由 3V 或 5V 单电源供电而设计。该器件还支持在 ±5V 或 +10V 电源下工作。输入范围扩展至负电源以下和正电源 1.7V 以内。使用互补共发射极输出可在驱动 150 Ω 时提供任一电源 25mV 以内的输出摆幅。高输出驱动电流 (±80mA) 以及低差分增益和相位误差也使该器件非常适合单电源消费类视频产品。

高增益带宽积 (110MHz) 和压摆率 (550V/ μs) 提供低失真操作，使 OPA830 非常适合用作 3V 和 5V CMOS ADC 的输入缓冲器级。与其他低功耗、单电源放大器不同，失真性能会随着信号摆幅的减小而提高。9.2nV/ \sqrt{Hz} 的低输入电压噪声支持宽动态范围运行。

OPA830 采用业界通用的 SO-8 封装和超小型 SOT23-5 封装。对于固定增益线路驱动器应用，请考虑采用 OPA832。

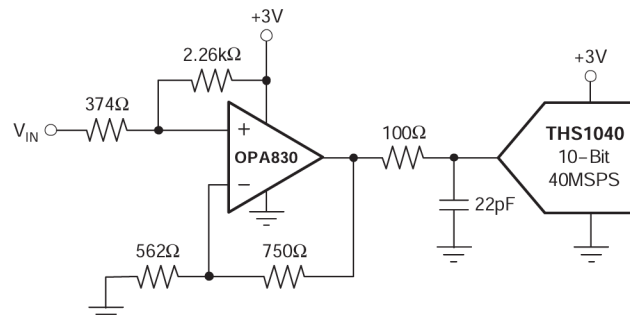
封装信息

器件型号 ⁽¹⁾	封装 ⁽²⁾	封装尺寸 ⁽³⁾
OPA830	D (SOIC, 8)	4.9mm × 6mm
	DBV (SOT-23, 5)	2.9mm × 2.8mm

(1) 请参阅节 4。

(2) 有关更多信息，请参阅节 11。

(3) 封装尺寸 (长 × 宽) 为标称值，并包括引脚 (如适用)。



直流耦合 3V ADC 驱动器



内容

1 特性	1	6.13 典型特性： $V_S = 5V$	25
2 应用	1	6.14 典型特性： $V_S = 5V$ ，差分配置.....	29
3 说明	1	6.15 典型特性： $V_S = 3V$	30
4 器件比较表	3	6.16 典型特性： $V_S = 3V$ ，差分配置.....	33
5 引脚配置	3	7 参数测量信息	34
6 规格	4	8 应用和实施	35
6.1 绝对最大额定值.....	4	8.1 应用信息.....	35
6.2 ESD 等级.....	4	8.2 典型应用.....	43
6.3 建议运行条件.....	4	8.3 布局.....	46
6.4 热性能信息.....	4	9 器件和文档支持	48
6.5 $V_S = \pm 5V$ 时 D 封装的电气特性.....	5	9.1 器件支持.....	48
6.6 $V_S = 5V$ 时 D 封装的电气特性.....	8	9.2 接收文档更新通知.....	48
6.7 $V_S = 3V$ 时 D 封装的电气特性.....	12	9.3 支持资源.....	48
6.8 $V_S = \pm 5V$ 时 DBV 封装的电气特性.....	15	9.4 商标.....	48
6.9 $V_S = 5V$ 时 DBV 封装的电气特性.....	17	9.5 静电放电警告.....	48
6.10 $V_S = 3V$ 时 DBV 封装的电气特性.....	19	9.6 术语表.....	48
6.11 典型特性： $V_S = \pm 5V$	21	10 修订历史记录	48
6.12 典型特性： $V_S = \pm 5V$ ，差分配置.....	24	11 机械、封装和可订购信息	49

4 器件比较表

说明	单通道	双通道	三通道	四通道
轨到轨	—	OPA2830	—	OPA4830
轨到轨固定增益	OPA832	OPA2832	OPA3832	—
通用 (1800V/ μ s 压摆率)	OPA690	OPA2690	OPA3690	—
低噪声、高直流精度	OPA820	OPA2822	—	OPA4820

5 引脚配置

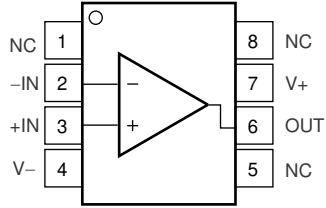


图 5-1. D 封装，8 引脚 SO-8 (顶视图)

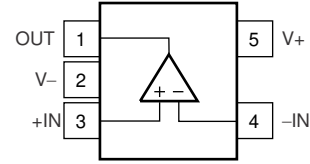


图 5-2. DBV 封装，5 引脚 SOT-23 (顶视图)

表 5-1. 引脚功能

名称	引脚		类型	说明
	编号			
	D (SO-8)	DBV (SOT-23)		
- IN	2	4	输入	反相输入
+ IN	3	3	输入	同相输入
NC	1、5、8	—	—	无内部连接 (将该引脚悬空)
OUT	6	1	输出	输出
V -	4	2	—	负 (最低) 电源
V +	7	5	—	正 (最高) 电源

6 规格

6.1 绝对最大额定值

在自然通风条件下的工作温度范围内测得（除非另有说明）⁽¹⁾

		最小值	最大值	单位
电源	对于 DBV 封装		±6.5	V _{DC}
	适用于 D 封装		12	
内部功率耗散		请参阅热性能信息		
差分输入电压			±2.5	V
输入电压			V _{S-} - 0.5V 至 V _{S+} + 0.3V	V
结温, T _J			150	°C
贮存温度, T _{stg}		-65	125	°C

- (1) 超出绝对最大额定值运行可能会对器件造成永久损坏。绝对最大额定值并不表示器件在这些条件下或在建议运行条件以外的任何其他条件下能够正常运行。如果超出建议运行条件但在绝对最大额定值范围内使用，器件可能不会完全正常运行，这可能影响器件的可靠性、功能和性能并缩短器件寿命。

6.2 ESD 等级

			值	单位
V _(ESD)	静电放电	人体放电模型 (HBM), 符合 ANSI/ESDA/JEDEC JS-001 标准 ⁽¹⁾	±2000	V
		充电器件模型 (CDM), 符合 JEDEC 规范 JESD22-C101 ⁽²⁾	±1500	

(1) JEDEC 文档 JEP155 指出：500V HBM 时能够在标准 ESD 控制流程下安全生产。

(2) JEDEC 文档 JEP157 指出：250V CDM 时能够在标准 ESD 控制流程下安全生产。

6.3 建议运行条件

在自然通风条件下的工作温度范围内测得（除非另有说明）

		最小值	标称值	最大值	单位
V _S	总电源电压	3	10	11	V
T _A	工作温度	-40		85	°C

6.4 热性能信息

热指标 ⁽¹⁾		OPA830		单位
		D (SOIC)	DBV (SOT-23)	
		8 引脚	5 引脚	
R _{θJA}	结至环境热阻	125	186.3	°C/W
R _{θJC(top)}	结至外壳 (顶部) 热阻	不适用	84.0	°C/W
R _{θJB}	结至电路板热阻	不适用	53.1	°C/W
ψ _{JT}	结至顶部特征参数	不适用	21.0	°C/W
ψ _{JB}	结至电路板特征参数	不适用	52.7	°C/W
R _{θJC(bot)}	结至外壳 (底部) 热阻	不适用	不适用	°C/W

- (1) 有关新旧热性能指标的更多信息，请参阅 [半导体和 IC 封装热性能指标](#) 应用手册。

6.5 $V_S = \pm 5V$ 时 D 封装的电气特性

在 $T_A = 25^\circ C^{(1)}$ 、 $G = +2$ 、 $R_F = 750\Omega$ 、 $R_L = 150\Omega$ (接地)、 $R_{SRC} = 375\Omega$ 时测得 (除非另有说明)

参数	测试条件	最小值	典型值	最大值	单位
交流性能					
小信号带宽	$G = +1, V_O \leq 0.2V_{PP}$		310		MHz
小信号带宽 ⁽²⁾	$G = +2, V_O \leq 0.2V_{PP}$	70	120		
	$G = +2, V_O \leq 0.2V_{PP}, T_A = 0^\circ C$ 至 $70^\circ C$	68			
	$G = +2, V_O \leq 0.2V_{PP}, T_A = -40^\circ C$ 至 $+85^\circ C$	65			
	$G = +5, V_O \leq 0.2V_{PP}$	18	25		
	$G = +5, V_O \leq 0.2V_{PP}, T_A = 0^\circ C$ 至 $70^\circ C$	16			
	$G = +5, V_O \leq 0.2V_{PP}, T_A = -40^\circ C$ 至 $+85^\circ C$	15			
	$G = +10, V_O \leq 0.2V_{PP}$	8	11		
	$G = +10, V_O \leq 0.2V_{PP}, T_A = 0^\circ C$ 至 $70^\circ C$	7			
	$G = +10, V_O \leq 0.2V_{PP}, T_A = -40^\circ C$ 至 $+85^\circ C$	6			
增益带宽积 ⁽²⁾	$G \geq +10$	85	110		MHz
	$G \geq +10, T_A = 0^\circ C$ 至 $70^\circ C$	82			
	$G \geq +10, T_A = -40^\circ C$ 至 $+85^\circ C$	80			
增益为 +1 时的峰值	$V_O \leq 0.2V_{PP}$		6		dB
压摆率 ⁽²⁾	$G = +2, 2V$ 阶跃	280	600		V/ μ s
	$G = +2, 2V$ 阶跃, $T_A = 0^\circ C$ 至 $70^\circ C$	270			
	$G = +2, 2V$ 阶跃, $T_A = -40^\circ C$ 至 $+85^\circ C$	260			
上升时间 ⁽²⁾	0.5V 阶跃		3.3	5.8	ns
	0.5V 阶跃, $T_A = 0^\circ C$ 至 $70^\circ C$			5.85	
	0.5V 阶跃, $T_A = -40^\circ C$ 至 $+85^\circ C$			5.9	
下降时间 ⁽²⁾	0.5V 阶跃		3.5	5.9	ns
	0.5V 阶跃, $T_A = 0^\circ C$ 至 $70^\circ C$			5.95	
	0.5V 阶跃, $T_A = -40^\circ C$ 至 $+85^\circ C$			6.0	
稳定时间 ⁽²⁾	$G = +2, 1V$ 阶跃, 至 0.1%		42	63	ns
	$G = +2, 1V$ 阶跃, 至 0.1%, $T_A = 0^\circ C$ 至 $70^\circ C$			65	
	$G = +2, 1V$ 阶跃, 至 0.1%, $T_A = -40^\circ C$ 至 $+85^\circ C$			66	

6.5 $V_S = \pm 5V$ 时 D 封装的电气特性 (续)

在 $T_A = 25^\circ C^{(1)}$ 、 $G = +2$ 、 $R_F = 750\Omega$ 、 $R_L = 150\Omega$ (接地)、 $R_{SRC} = 375\Omega$ 时测得 (除非另有说明)

参数	测试条件	最小值	典型值	最大值	单位
谐波失真 ⁽²⁾	二次谐波, $V_O = 2V_{PP}$, $f = 5MHz$, $R_L = 150\Omega$		-67	-59	dBc
	二次谐波, $V_O = 2V_{PP}$, $f = 5MHz$, $R_L = 150\Omega$, $T_A = 0^\circ C$ 至 $70^\circ C$			-57	
	二次谐波, $V_O = 2V_{PP}$, $f = 5MHz$, $R_L = 150\Omega$, $T_A = -40^\circ C$ 至 $+85^\circ C$			-56	
	二次谐波, $V_O = 2V_{PP}$, $f = 5MHz$, $R_L \geq 500\Omega$		-71	-62	
	二次谐波, $V_O = 2V_{PP}$, $f = 5MHz$, $R_L \geq 500\Omega$, $T_A = 0^\circ C$ 至 $70^\circ C$			-61	
	二次谐波, $V_O = 2V_{PP}$, $f = 5MHz$, $R_L \geq 500\Omega$, $T_A = -40^\circ C$ 至 $+85^\circ C$			-60	
	三次谐波, $V_O = 2V_{PP}$, $f = 5MHz$, $R_L = 150\Omega$		-60	-50	
	三次谐波, $V_O = 2V_{PP}$, $f = 5MHz$, $R_L = 150\Omega$, $T_A = 0^\circ C$ 至 $70^\circ C$			-49	
	三次谐波, $V_O = 2V_{PP}$, $f = 5MHz$, $R_L = 150\Omega$, $T_A = -40^\circ C$ 至 $+85^\circ C$			-48	
	三次谐波, $V_O = 2V_{PP}$, $f = 5MHz$, $R_L \geq 500\Omega$		-77	-65	
	三次谐波, $V_O = 2V_{PP}$, $f = 5MHz$, $R_L \geq 500\Omega$, $T_A = 0^\circ C$ 至 $70^\circ C$			-62	
	三次谐波, $V_O = 2V_{PP}$, $f = 5MHz$, $R_L \geq 500\Omega$, $T_A = -40^\circ C$ 至 $+85^\circ C$			-59	
	输入电压噪声 ⁽²⁾	$f > 1MHz$		9.5	
$f > 1MHz$, $T_A = 0^\circ C$ 至 $70^\circ C$				11.0	
$f > 1MHz$, $T_A = -40^\circ C$ 至 $+85^\circ C$				11.5	
输入电流噪声 ⁽²⁾	$f > 1MHz$		3.7	4.7	pA/√Hz
	$f > 1MHz$, $T_A = 0^\circ C$ 至 $70^\circ C$			5.2	
	$f > 1MHz$, $T_A = -40^\circ C$ 至 $+85^\circ C$			5.7	
NTSC 差分增益			0.07		%
NTSC 差分相位			0.17		°
直流性能					
开环电压增益	$V_O = \pm 1V$	66	74		dB
	$V_O = \pm 1V$, $T_A = 0^\circ C$ 至 $70^\circ C$	65			
	$V_O = \pm 1V$, $T_A = -40^\circ C$ 至 $+85^\circ C$	64			
输入失调电压			± 1.5	± 7	mV
	$T_A = 0^\circ C$ 至 $70^\circ C$			± 8.1	
	$T_A = -40^\circ C$ 至 $+85^\circ C$			± 8.6	
平均失调电压漂移 ⁽²⁾	$T_A = -40^\circ C$ 至 $+85^\circ C$			± 25	$\mu V/^\circ C$
输入偏置电流	$V_{CM} = 0V$		+5	+10	μA
	$V_{CM} = 0V$, $T_A = 0^\circ C$ 至 $70^\circ C$			+12	
	$V_{CM} = 0V$, $T_A = -40^\circ C$ 至 $+85^\circ C$			+13	
输入偏置电流漂移 ⁽²⁾	$V_{CM} = 0V$, $T_A = -40^\circ C$ 至 $+85^\circ C$			± 12	nA/°C
输入失调电流	$V_{CM} = 0V$		± 0.1	± 1	μA
	$V_{CM} = 0V$, $T_A = 0^\circ C$ 至 $70^\circ C$			± 1.2	
	$V_{CM} = 0V$, $T_A = -40^\circ C$ 至 $+85^\circ C$			± 1.4	
输入失调电流漂移 ⁽²⁾	$V_{CM} = 0V$, $T_A = -40^\circ C$ 至 $+85^\circ C$			± 5	nA/°C

6.5 $V_S = \pm 5V$ 时 D 封装的电气特性 (续)

在 $T_A = 25^\circ C^{(1)}$ 、 $G = +2$ 、 $R_F = 750\Omega$ 、 $R_L = 150\Omega$ (接地)、 $R_{SRC} = 375\Omega$ 时测得 (除非另有说明)

参数	测试条件	最小值	典型值	最大值	单位
输入					
负输入电压 ⁽³⁾			-5.5	-5.4	V
	$T_A = 0^\circ C$ 至 $70^\circ C$			-5.3	
	$T_A = -40^\circ C$ 至 $+85^\circ C$			-5.2	
正输入电压 ⁽³⁾		3.1	3.2		V
	$T_A = 0^\circ C$ 至 $70^\circ C$	3.0			
	$T_A = -40^\circ C$ 至 $+85^\circ C$	2.9			
共模抑制比, CMRR	以输入为基准	76	80		dB
	以输入为基准, $T_A = 0^\circ C$ 至 $70^\circ C$	74			
	以输入为基准, $T_A = -40^\circ C$ 至 $+85^\circ C$	72			
输入阻抗	差分	10 2.1			k Ω pF
	共模	400 1.2			
输出					
输出电压摆幅	$R_L = 1k\Omega$ (接地)	± 4.86	± 4.88		V
	$R_L = 1k\Omega$ (接地), $T_A = 0^\circ C$ 至 $70^\circ C$	± 4.85			
	$R_L = 1k\Omega$ (接地), $T_A = -40^\circ C$ 至 $+85^\circ C$	± 4.84			
	$R_L = 150\Omega$ (接地)	± 4.60	± 4.64		
	$R_L = 150\Omega$ (接地), $T_A = 0^\circ C$ 至 $70^\circ C$	± 4.58			
	$R_L = 150\Omega$ (接地), $T_A = -40^\circ C$ 至 $+85^\circ C$	± 4.56			
电流输出, 灌电流和拉电流	输出接地短路	± 65	± 85		mA
	输出接地短路, $T_A = 0^\circ C$ 至 $70^\circ C$	± 60			
	输出接地短路, $T_A = -40^\circ C$ 至 $+85^\circ C$	± 55			
短路电流	输出接地短路	150			mA
闭环输出阻抗	$G = +2$, $f \leq 100kHz$	0.06			Ω
电源					
静态电流		4	4.25	4.7	mA
	$T_A = 0^\circ C$ 至 $70^\circ C$	3.6		5.3	
	$T_A = -40^\circ C$ 至 $+85^\circ C$	3.3		5.9	
电源抑制比, +PSRR	以输入为基准	61	66		dB
	以输入为基准, $T_A = 0^\circ C$ 至 $70^\circ C$	60			
	以输入为基准, $T_A = -40^\circ C$ 至 $+85^\circ C$	59			

- (1) 对于 $25^\circ C$ 规格, 结温 = 环境温度。
- (2) 通过表征和仿真设置限制。
- (3) 在 $\pm CMIR$ 限值下经测试小于 3dB, 低于 CMRR 最小指定值。

6.6 $V_S = 5V$ 时 D 封装的电气特性

在 $T_A = 25^\circ\text{C}$ ⁽¹⁾、 $G = +2$ 、 $R_F = 750\Omega$ 、 $R_L = 150\Omega$ (接地) 时测得 (除非另有说明)

参数	测试条件	最小值	典型值	最大值	单位
交流性能					
小信号带宽	$G = +1, V_O \leq 0.2V_{PP}$		250		MHz
小信号带宽 ⁽²⁾	$G = +2, V_O \leq 0.2V_{PP}$	72	110		
	$G = +2, V_O \leq 0.2V_{PP}, T_A = 0^\circ\text{C}$ 至 70°C	70			
	$G = +2, V_O \leq 0.2V_{PP}, T_A = -40^\circ\text{C}$ 至 $+85^\circ\text{C}$	68			
	$G = +5, V_O \leq 0.2V_{PP}$	17	24		
	$G = +5, V_O \leq 0.2V_{PP}, T_A = 0^\circ\text{C}$ 至 70°C	16			
	$G = +5, V_O \leq 0.2V_{PP}, T_A = -40^\circ\text{C}$ 至 $+85^\circ\text{C}$	15			
	$G = +10, V_O \leq 0.2V_{PP}$	8	11		
	$G = +10, V_O \leq 0.2V_{PP}, T_A = 0^\circ\text{C}$ 至 70°C	7			
	$G = +10, V_O \leq 0.2V_{PP}, T_A = -40^\circ\text{C}$ 至 $+85^\circ\text{C}$	6			
增益带宽积 ⁽²⁾	$G \geq +10$	84	110		MHz
	$G \geq +10, T_A = 0^\circ\text{C}$ 至 70°C	80			
	$G \geq +10, T_A = -40^\circ\text{C}$ 至 $+85^\circ\text{C}$	79			
增益为 +1 时的峰值	$V_O \leq 0.2V_{PP}$		5		dB
压摆率 ⁽²⁾	$G = +2, 2V$ 阶跃	280	550		V/ μ s
	$G = +2, 2V$ 阶跃, $T_A = 0^\circ\text{C}$ 至 70°C	270			
	$G = +2, 2V$ 阶跃, $T_A = -40^\circ\text{C}$ 至 $+85^\circ\text{C}$	260			
上升时间 ⁽²⁾	0.5V 阶跃		3.3	5.7	ns
	0.5V 阶跃, $T_A = 0^\circ\text{C}$ 至 70°C			5.8	
	0.5V 阶跃, $T_A = -40^\circ\text{C}$ 至 $+85^\circ\text{C}$			5.9	
下降时间 ⁽²⁾	0.5V 阶跃		3.3	5.7	ns
	0.5V 阶跃, $T_A = 0^\circ\text{C}$ 至 70°C			5.8	
	0.5V 阶跃, $T_A = -40^\circ\text{C}$ 至 $+85^\circ\text{C}$			5.9	
稳定时间 ⁽²⁾	$G = +2, 1V$ 阶跃, 至 0.1%		43	64	ns
	$G = +2, 1V$ 阶跃, 至 0.1%, $T_A = 0^\circ\text{C}$ 至 70°C			66	
	$G = +2, 1V$ 阶跃, 至 0.1%, $T_A = -40^\circ\text{C}$ 至 $+85^\circ\text{C}$			67	

6.6 $V_S = 5V$ 时 D 封装的电气特性 (续)

在 $T_A = 25^\circ C^{(1)}$ 、 $G = +2$ 、 $R_F = 750\Omega$ 、 $R_L = 150\Omega$ (接地) 时测得 (除非另有说明)

参数	测试条件	最小值	典型值	最大值	单位
谐波失真 ⁽²⁾	二次谐波, $V_O = 2V_{PP}$, $f = 5MHz$, $R_L = 150\Omega$		-62	-55	dBc
	二次谐波, $V_O = 2V_{PP}$, $f = 5MHz$, $R_L = 150\Omega$, $T_A = 0^\circ C$ 至 $70^\circ C$			-54	
	二次谐波, $V_O = 2V_{PP}$, $f = 5MHz$, $R_L = 150\Omega$, $T_A = -40^\circ C$ 至 $+85^\circ C$			-53	
	二次谐波, $V_O = 2V_{PP}$, $f = 5MHz$, $R_L \geq 500\Omega$		-64	-58	
	二次谐波, $V_O = 2V_{PP}$, $f = 5MHz$, $R_L \geq 500\Omega$, $T_A = 0^\circ C$ 至 $70^\circ C$			-57	
	二次谐波, $V_O = 2V_{PP}$, $f = 5MHz$, $R_L \geq 500\Omega$, $T_A = -40^\circ C$ 至 $+85^\circ C$			-56	
	三次谐波, $V_O = 2V_{PP}$, $f = 5MHz$, $R_L = 150\Omega$		-58	-50	
	三次谐波, $V_O = 2V_{PP}$, $f = 5MHz$, $R_L = 150\Omega$, $T_A = 0^\circ C$ 至 $70^\circ C$			-49	
	三次谐波, $V_O = 2V_{PP}$, $f = 5MHz$, $R_L = 150\Omega$, $T_A = -40^\circ C$ 至 $+85^\circ C$			-48	
	三次谐波, $V_O = 2V_{PP}$, $f = 5MHz$, $R_L \geq 500\Omega$		-84	-66	
	三次谐波, $V_O = 2V_{PP}$, $f = 5MHz$, $R_L \geq 500\Omega$, $T_A = 0^\circ C$ 至 $70^\circ C$			-63	
	三次谐波, $V_O = 2V_{PP}$, $f = 5MHz$, $R_L \geq 500\Omega$, $T_A = -40^\circ C$ 至 $+85^\circ C$			-60	
输入电压噪声 ⁽²⁾	$f > 1MHz$		9.2	10.2	nV/√Hz
	$f > 1MHz$, $T_A = 0^\circ C$ 至 $70^\circ C$			10.7	
	$f > 1MHz$, $T_A = -40^\circ C$ 至 $+85^\circ C$			11.2	
输入电流噪声 ⁽²⁾	$f > 1MHz$		3.5	4.5	pA/√Hz
	$f > 1MHz$, $T_A = 0^\circ C$ 至 $+70^\circ C$			5.0	
	$f > 1MHz$, $T_A = -40^\circ C$ 至 $+85^\circ C$			5.5	
NTSC 差分增益 ⁽²⁾			0.08		%
NTSC 差分相位 ⁽²⁾			0.09		°
直流性能					
开环电压增益	$V_O = \pm 1V$	66	72		dB
	$V_O = \pm 1V$, $T_A = 0^\circ C$ 至 $70^\circ C$	65			
	$V_O = \pm 1V$, $T_A = -40^\circ C$ 至 $+85^\circ C$	64			
输入失调电压			± 0.5	± 5.0	mV
	$T_A = 0^\circ C$ 至 $70^\circ C$			± 6.0	
	$T_A = -40^\circ C$ 至 $+85^\circ C$			± 6.5	
平均失调电压漂移 ⁽²⁾	$T_A = -40^\circ C$ 至 $+85^\circ C$			± 20	$\mu V/^\circ C$
输入偏置电流	$V_{CM} = 2.5V$		+5	+10	μA
	$V_{CM} = 2.5V$, $T_A = 0^\circ C$ 至 $70^\circ C$			+12	
	$V_{CM} = 2.5V$, $T_A = -40^\circ C$ 至 $+85^\circ C$			+13	
输入偏置电流漂移 ⁽²⁾	$V_{CM} = 2.5V$, $T_A = -40^\circ C$ 至 $+85^\circ C$			± 12	nA/°C
输入失调电流	$V_{CM} = 2.5V$		± 0.1	± 0.8	μA
	$V_{CM} = 2.5V$, $T_A = 0^\circ C$ 至 $70^\circ C$			± 1.2	
	$V_{CM} = 2.5V$, $T_A = -40^\circ C$ 至 $+85^\circ C$			± 1.2	
输入失调电流漂移 ⁽²⁾	$V_{CM} = 2.5V$, $T_A = -40^\circ C$ 至 $+85^\circ C$			± 5	nA/°C

6.6 $V_S = 5V$ 时 D 封装的电气特性 (续)

在 $T_A = 25^\circ\text{C}$ ⁽¹⁾、 $G = +2$ 、 $R_F = 750\Omega$ 、 $R_L = 150\Omega$ (接地) 时测得 (除非另有说明)

参数	测试条件	最小值	典型值	最大值	单位
输入					
负输入电压 ⁽³⁾			-0.5	-0.4	V
	$T_A = 0^\circ\text{C}$ 至 70°C			-0.3	
	$T_A = -40^\circ\text{C}$ 至 $+85^\circ\text{C}$			-0.2	
正输入电压 ⁽³⁾		3.1	3.2		V
	$T_A = 0^\circ\text{C}$ 至 70°C	3.0			
	$T_A = -40^\circ\text{C}$ 至 $+85^\circ\text{C}$	2.9			
共模抑制比, CMRR	以输入为基准	76	80		dB
	以输入为基准, $T_A = 0^\circ\text{C}$ 至 70°C	74			
	以输入为基准, $T_A = -40^\circ\text{C}$ 至 $+85^\circ\text{C}$	72			
输入阻抗	差分		10 2.1		k Ω pF
	共模		400 1.2		
输出					
输出电压摆幅低位	$G = +5$, $R_L = 1k\Omega$ (连接至 2.5V)		0.09	0.11	V
	$G = +5$, $R_L = 1k\Omega$ (连接至 2.5V), $T_A = 0^\circ\text{C}$ 至 70°C			0.12	
	$G = +5$, $R_L = 1k\Omega$ (连接至 2.5V), $T_A = -40^\circ\text{C}$ 至 $+85^\circ\text{C}$			0.13	
	$G = +5$, $R_L = 150\Omega$ (连接至 2.5V)		0.21	0.24	
	$G = +5$, $R_L = 150\Omega$ (连接至 2.5V), $T_A = 0^\circ\text{C}$ 至 70°C			0.25	
	$G = +5$, $R_L = 150\Omega$ (连接至 2.5V), $T_A = -40^\circ\text{C}$ 至 $+85^\circ\text{C}$			0.26	
输出电压摆幅高位	$G = +5$, $R_L = 1k\Omega$ (连接至 2.5V)	4.89	4.91		V
	$G = +5$, $R_L = 1k\Omega$ (连接至 2.5V), $T_A = 0^\circ\text{C}$ 至 70°C	4.87			
	$G = +5$, $R_L = 1k\Omega$ (连接至 2.5V), $T_A = -40^\circ\text{C}$ 至 $+85^\circ\text{C}$	4.87			
	$G = +5$, $R_L = 150\Omega$ (连接至 2.5V)	4.75	4.78		
	$G = +5$, $R_L = 150\Omega$ (连接至 2.5V), $T_A = 0^\circ\text{C}$ 至 70°C	4.73			
	$G = +5$, $R_L = 150\Omega$ (连接至 2.5V), $T_A = -40^\circ\text{C}$ 至 $+85^\circ\text{C}$	4.72			
电流输出, 灌电流和拉电流		± 60	± 80		mA
	$T_A = 0^\circ\text{C}$ 至 70°C	± 55			
	$T_A = -40^\circ\text{C}$ 至 $+85^\circ\text{C}$	± 52			
短路输出电流	输出短接至任一电源		140		mA
闭环输出阻抗	$G = +2$, $f \leq 100\text{kHz}$		0.06		Ω
电源					
静态电流		3.7	3.9	4.1	mA
	$T_A = 0^\circ\text{C}$ 至 70°C	3.1		4.8	
	$T_A = -40^\circ\text{C}$ 至 $+85^\circ\text{C}$	3.1		5.5	

6.6 $V_S = 5V$ 时 D 封装的电气特性 (续)

在 $T_A = 25^\circ\text{C}$ ⁽¹⁾、 $G = +2$ 、 $R_F = 750\Omega$ 、 $R_L = 150\Omega$ (接地) 时测得 (除非另有说明)

参数	测试条件	最小值	典型值	最大值	单位
电源抑制比, PSRR	以输入为基准	61	66		dB
	以输入为基准, $T_A = 0^\circ\text{C}$ 至 70°C	60			
	以输入为基准, $T_A = -40^\circ\text{C}$ 至 $+85^\circ\text{C}$	59			

- (1) 对于 25°C 规格, 结温 = 环境温度。
- (2) 在低温限制下, 结温 = 环境温度; 在过热规格的高温限制下, 结温 = 环境温度 + 18°C 。
- (3) 在 $\pm\text{CMIR}$ 限值下经测试小于 3dB, 低于 CMRR 最小指定值。

6.7 $V_S = 3V$ 时 D 封装的电气特性

在 $T_A = 25^\circ\text{C}$ ⁽¹⁾、 $G = +2$ 、 $R_F = 750\Omega$ 、 $R_L = 150\Omega$ (连接至 $V_S/3$) 时测得 (除非另有说明)

参数	测试条件	最小值	典型值	最大值	单位
交流性能					
小信号带宽 ⁽²⁾	$G = +2, V_O \leq 0.2V_{PP}$	72	100		MHz
	$G = +2, V_O \leq 0.2V_{PP}, T_A = 0^\circ\text{C} \text{ 至 } 70^\circ\text{C}$	68			
	$G = +5, V_O \leq 0.2V_{PP}$	17	22		
	$G = +5, V_O \leq 0.2V_{PP}, T_A = 0^\circ\text{C} \text{ 至 } 70^\circ\text{C}$	16			
	$G = +10, V_O \leq 0.2V_{PP}$	8	10		
	$G = +10, V_O \leq 0.2V_{PP}, T_A = 0^\circ\text{C} \text{ 至 } 70^\circ\text{C}$	7			
增益带宽积 ⁽²⁾	$G \geq +10$	80	100		MHz
	$G \geq +10, T_A = 0^\circ\text{C} \text{ 至 } 70^\circ\text{C}$	76			
压摆率 ⁽²⁾	1V 阶跃	140	225		V/ μs
	1V 阶跃, $T_A = 0^\circ\text{C} \text{ 至 } 70^\circ\text{C}$	110			
上升时间 ⁽²⁾	0.5V 阶跃		3.3	5.5	ns
	0.5V 阶跃, $T_A = 0^\circ\text{C} \text{ 至 } 70^\circ\text{C}$			5.6	
下降时间 ⁽²⁾	0.5V 阶跃		3.3	5.5	ns
	0.5V 阶跃, $T_A = 0^\circ\text{C} \text{ 至 } 70^\circ\text{C}$			5.6	
稳定时间 ⁽²⁾	1V 阶跃, 至 0.1%		45	72	ns
	1V 阶跃, 至 0.1%, $T_A = 0^\circ\text{C} \text{ 至 } 70^\circ\text{C}$			87	
谐波失真 ⁽²⁾	二次谐波, $V_O = 1V_{PP}, f = 5\text{MHz}, R_L = 150\Omega$		-67	-61	dBc
	二次谐波, $V_O = 1V_{PP}, f = 5\text{MHz}, R_L = 150\Omega, T_A = 0^\circ\text{C} \text{ 至 } +70^\circ\text{C}$			-59	
	二次谐波, $V_O = 1V_{PP}, f = 5\text{MHz}, R_L \geq 500\Omega$		-67	-61	
	二次谐波, $V_O = 1V_{PP}, f = 5\text{MHz}, R_L \geq 500\Omega, T_A = 0^\circ\text{C} \text{ 至 } +70^\circ\text{C}$			-59	
	三次谐波, $V_O = 1V_{PP}, f = 5\text{MHz}, R_L = 150\Omega$		-66	-59	
	三次谐波, $V_O = 1V_{PP}, f = 5\text{MHz}, R_L = 150\Omega, T_A = 0^\circ\text{C} \text{ 至 } +70^\circ\text{C}$			-58	
	三次谐波, $V_O = 1V_{PP}, f = 5\text{MHz}, R_L \geq 500\Omega$		-77	-59	
	三次谐波, $V_O = 1V_{PP}, f = 5\text{MHz}, R_L \geq 500\Omega, T_A = 0^\circ\text{C} \text{ 至 } +70^\circ\text{C}$			-58	
输入电压噪声 ⁽²⁾	$f > 1\text{MHz}$		9.2	10.2	nV/ $\sqrt{\text{Hz}}$
	$f > 1\text{MHz}, T_A = 0^\circ\text{C} \text{ 至 } 70^\circ\text{C}$			10.7	
输入电流噪声 ⁽²⁾	$f > 1\text{MHz}$		3.5	4.5	pA/ $\sqrt{\text{Hz}}$
	$f > 1\text{MHz}, T_A = 0^\circ\text{C} \text{ 至 } 70^\circ\text{C}$			5.0	
直流性能					
开环电压增益	$V_O = \pm 0.5\text{V}$	66	72		dB
	$V_O = \pm 0.5\text{V}, T_A = 0^\circ\text{C} \text{ 至 } 70^\circ\text{C}$	65			
输入失调电压			± 1.5	± 7	mV
	$T_A = 0^\circ\text{C} \text{ 至 } 70^\circ\text{C}$			± 8.1	
平均失调电压漂移 ⁽²⁾	$T_A = 0^\circ\text{C} \text{ 至 } 70^\circ\text{C}$			± 25	$\mu\text{V}/^\circ\text{C}$
输入偏置电流	$V_{CM} = 1\text{V}$		+5	+10	μA
	$V_{CM} = 1\text{V}, T_A = 0^\circ\text{C} \text{ 至 } 70^\circ\text{C}$			+12	
输入偏置电流漂移 ⁽²⁾	$T_A = 0^\circ\text{C} \text{ 至 } 70^\circ\text{C}$			± 12	nA/ $^\circ\text{C}$

6.7 $V_S = 3V$ 时 D 封装的电气特性 (续)

在 $T_A = 25^\circ\text{C}$ ⁽¹⁾、 $G = +2$ 、 $R_F = 750\Omega$ 、 $R_L = 150\Omega$ (连接至 $V_S/3$) 时测得 (除非另有说明)

参数	测试条件	最小值	典型值	最大值	单位
输入失调电流	$V_{CM} = 1V$		± 0.1	± 1	μA
	$V_{CM} = 1V$, $T_A = 0^\circ\text{C}$ 至 70°C			± 1.2	
输入失调电流漂移 ⁽²⁾	$T_A = 0^\circ\text{C}$ 至 70°C			± 5	$nA/^\circ\text{C}$

6.7 $V_S = 3V$ 时 D 封装的电气特性 (续)

在 $T_A = 25^\circ\text{C}$ ⁽¹⁾、 $G = +2$ 、 $R_F = 750\Omega$ 、 $R_L = 150\Omega$ (连接至 $V_S/3$) 时测得 (除非另有说明)

参数	测试条件	最小值	典型值	最大值	单位
输入					
负输入电压 ⁽³⁾			-0.45	-0.4	V
	$T_A = 0^\circ\text{C}$ 至 70°C			-0.27	
正输入电压 ⁽³⁾		1.1	1.2		
	$T_A = 0^\circ\text{C}$ 至 70°C	1.0			
共模抑制比, CMRR	以输入为基准	75	80		dB
	以输入为基准, $T_A = 0^\circ\text{C}$ 至 70°C	73			
输入阻抗	差分		10 2.1		k Ω pF
	共模		400 1.2		
输出					
输出电压摆幅低位	$G = +5$, $R_L = 1k\Omega$ (连接至 1.5V)		0.08	0.11	V
	$G = +5$, $R_L = 1k\Omega$ (连接至 1.5V), $T_A = 0^\circ\text{C}$ 至 70°C			0.125	
	$G = +5$, $R_L = 150\Omega$ (连接至 1.5V)		0.17	0.39	
	$G = +5$, $R_L = 150\Omega$ (连接至 1.5V), $T_A = 0^\circ\text{C}$ 至 70°C			0.40	
输出电压摆幅高位	$G = +5$, $R_L = 1k\Omega$ (连接至 1.5V)	2.88	2.91		V
	$G = +5$, $R_L = 1k\Omega$ (连接至 1.5V), $T_A = 0^\circ\text{C}$ 至 70°C	2.85			
	$G = +5$, $R_L = 150\Omega$ (连接至 1.5V)	2.74	2.82		
	$G = +5$, $R_L = 150\Omega$ (连接至 1.5V), $T_A = 0^\circ\text{C}$ 至 70°C	2.70			
电流输出, 灌电流和拉电流		± 20	± 30		mA
	$T_A = 0^\circ\text{C}$ 至 70°C	± 18			
短路输出电流	输出短接至任一电源		45		
闭环输出阻抗	$G = +2$, $f \leq 100\text{kHz}$		0.06		Ω
电源					
静态电流		3.3	3.7	4	mA
	$T_A = 0^\circ\text{C}$ 至 70°C	3.1		4.7	
电源抑制比, PSRR	以输入为基准, 0.3V 阶跃	60	64		dB
	以输入为基准, $T_A = 0^\circ\text{C}$ 至 70°C	58			

(1) 对于 25°C 规格, 结温 = 环境温度。

(2) 在低温限制下, 结温 = 环境温度; 在过热规格的高温限制下, 结温 = 环境温度 + 18°C 。

(3) 在 $\pm\text{CMIR}$ 限值下经测试小于 3dB, 低于 CMRR 最小指定值。

6.8 $V_S = \pm 5V$ 时 DBV 封装的电气特性

在 $T_A = 25^\circ C^{(1)}$ 、 $G = +2$ 、 $R_F = 750\Omega$ 、 $R_L = 150\Omega$ (接地)、 $R_{SRC} = 375\Omega$ 时测得 (除非另有说明)

参数	测试条件	最小值	典型值	最大值	单位
交流性能					
小信号带宽	$G = +1, V_O \leq 0.2V_{PP}$		310		MHz
	$G = +2, V_O \leq 0.2V_{PP}$		100		
	$G = +5, V_O \leq 0.2V_{PP}$		30		
	$G = +10, V_O \leq 0.2V_{PP}$		13		
增益带宽积	$G \geq +10$		110		MHz
增益为 +1 时的峰值	$V_O \leq 0.2V_{PP}$		1		dB
压摆率	2V 阶跃, 20% 至 80%		640		V/ μs
上升时间	0.5V 阶跃, 10% 至 90%		3.3	5.8	ns
下降时间	0.5V 阶跃, 10% 至 90%		3.5	5.9	ns
稳定时间	1V 阶跃, 至 0.1%		42	63	ns
谐波失真	二次谐波, $V_O = 2V_{PP}, f = 5MHz, R_L = 150\Omega$		-77		dBc
	二次谐波, $V_O = 2V_{PP}, f = 5MHz, R_L \geq 500\Omega$		-78		
	三次谐波, $V_O = 2V_{PP}, f = 5MHz, R_L = 150\Omega$		-78		
	三次谐波, $V_O = 2V_{PP}, f = 5MHz, R_L \geq 500\Omega$		-77		
输入电压噪声	$f > 1MHz$		5.6	10.5	nV/ \sqrt{Hz}
	$f > 1MHz, T_A = -40^\circ C$ 至 $+85^\circ C$			11.5	
输入电流噪声	$f > 1MHz$		4	5.4	pA/ \sqrt{Hz}
	$f > 1MHz, T_A = -40^\circ C$ 至 $+85^\circ C$			6.4	
直流性能					
开环电压增益	$V_O = \pm 1V$	66	74		dB
	$V_O = \pm 1V, T_A = -40^\circ C$ 至 $+85^\circ C$	64			
输入失调电压			± 1.5	± 7	mV
	$T_A = -40^\circ C$ 至 $+85^\circ C$			± 8.6	
平均失调电压漂移	$T_A = -40^\circ C$ 至 $+85^\circ C$			± 25	$\mu V/^\circ C$
输入偏置电流	$V_{CM} = 0V$		5	18	μA
	$V_{CM} = 0V, T_A = -40^\circ C$ 至 $+85^\circ C$			19	
输入偏置电流漂移	$V_{CM} = 0V, T_A = -40^\circ C$ 至 $+85^\circ C$			± 12	nA/ $^\circ C$
输入失调电流	$V_{CM} = 0V$		± 0.1	± 1	μA
	$V_{CM} = 0V, T_A = -40^\circ C$ 至 $+85^\circ C$			± 1.4	
输入失调电流漂移	$V_{CM} = 0V, T_A = -40^\circ C$ 至 $+85^\circ C$			± 5	nA/ $^\circ C$
输入					
负输入电压 ⁽²⁾			-5.5	-5.4	V
	$T_A = -40^\circ C$ 至 $+85^\circ C$			-5.2	
正输入电压 ⁽²⁾		3.1	3.2		V
	$T_A = -40^\circ C$ 至 $+85^\circ C$	2.9			
共模抑制比, CMRR	以输入为基准	76	80		dB
	以输入为基准, $T_A = -40^\circ C$ 至 $+85^\circ C$	72			
输入阻抗	差分		10 2.1		k Ω pF
	共模		400 1.2		

6.8 $V_S = \pm 5V$ 时 DBV 封装的电气特性 (续)

在 $T_A = 25^\circ\text{C}$ ⁽¹⁾、 $G = +2$ 、 $R_F = 750\Omega$ 、 $R_L = 150\Omega$ (接地)、 $R_{SRC} = 375\Omega$ 时测得 (除非另有说明)

参数	测试条件	最小值	典型值	最大值	单位
输出					
输出电压摆幅	$R_L = 1k\Omega$ (接地)	± 4.86	± 4.88		V
	$R_L = 1k\Omega$ (接地), $T_A = -40^\circ\text{C}$ 至 $+85^\circ\text{C}$	± 4.84			
	$R_L = 150\Omega$ (接地)	± 4.60	± 4.64		
	$R_L = 150\Omega$ (接地), $T_A = -40^\circ\text{C}$ 至 $+85^\circ\text{C}$	± 4.56			
电流输出, 灌电流和拉电流	$V_O = \pm 2.75V$, $V_{OS} = 20mV$	± 65	± 85		mA
	$V_O = \pm 2.75V$, $V_{OS} = 20mV$, $T_A = -40^\circ\text{C}$ 至 $+85^\circ\text{C}$	± 55			
短路电流	输出接地短路		120		mA
闭环输出阻抗	$G = +2$, $f \leq 100\text{kHz}$		0.03		Ω
电源					
静态电流			4.5		mA
	$T_A = -40^\circ\text{C}$ 至 $+85^\circ\text{C}$	3.1		6.1	
电源抑制比, PSRR	以输入为基准	61	66		dB
	以输入为基准, $T_A = -40^\circ\text{C}$ 至 $+85^\circ\text{C}$	59			

(1) 对于 25°C 规格, 结温 = 环境温度。

(2) 在 $\pm\text{CMIR}$ 限值下经测试小于 3dB, 低于 CMRR 最小指定值。

6.9 $V_S = 5V$ 时 DBV 封装的电气特性

在 $T_A = 25^\circ\text{C}^{(1)}$ 、 $G = +2$ 、 $R_F = 750\Omega$ 、 $R_L = 150\Omega$ (接地) 时测得 (除非另有说明)

参数	测试条件	最小值	典型值	最大值	单位
交流性能					
小信号带宽	$G = +1, V_O \leq 0.2V_{PP}$		250		MHz
	$G = +2, V_O \leq 0.2V_{PP}$		100		
	$G = +5, V_O \leq 0.2V_{PP}$		30		
	$G = +10, V_O \leq 0.2V_{PP}$		13		
增益带宽积	$G \geq +10$		130		MHz
增益为 +1 时的峰值	$V_O \leq 0.2V_{PP}$		2		dB
压摆率	2V 阶跃, 20% 至 80%		550		V/ μs
上升时间	0.5V 阶跃, 10% 至 90%		3.3	5.7	ns
下降时间	0.5V 阶跃, 10% 至 90%		3.3	5.7	ns
稳定时间	$G = +2$, 1V 阶跃, 至 0.1%		43	64	ns
谐波失真	二次谐波, $V_O = 2V_{PP}, f = 5\text{MHz}, R_L = 150\Omega$		-69		dBc
	二次谐波, $V_O = 2V_{PP}, f = 5\text{MHz}, R_L \geq 500\Omega$		-71		
	三次谐波, $V_O = 2V_{PP}, f = 5\text{MHz}, R_L = 150\Omega$		-69		
	三次谐波, $V_O = 2V_{PP}, f = 5\text{MHz}, R_L \geq 500\Omega$		-78		
输入电压噪声	$f > 1\text{MHz}$		5.8	10.2	nV/ $\sqrt{\text{Hz}}$
	$f > 1\text{MHz}, T_A = -40^\circ\text{C}$ 至 $+85^\circ\text{C}$			11.2	
输入电流噪声	$f > 1\text{MHz}$		4	5.4	pA/ $\sqrt{\text{Hz}}$
	$f > 1\text{MHz}, T_A = -40^\circ\text{C}$ 至 $+85^\circ\text{C}$			6.4	
直流性能					
开环电压增益	$V_O = \pm 1V$	66	72		dB
	$V_O = \pm 1V, T_A = -40^\circ\text{C}$ 至 $+85^\circ\text{C}$	64			
输入失调电压			± 0.5	± 5.0	mV
	$T_A = -40^\circ\text{C}$ 至 $+85^\circ\text{C}$			± 6.5	
平均失调电压漂移	$T_A = -40^\circ\text{C}$ 至 $+85^\circ\text{C}$			± 20	$\mu\text{V}/^\circ\text{C}$
输入偏置电流	$V_{CM} = 0V$		+15	+18	μA
	$V_{CM} = 0V, T_A = -40^\circ\text{C}$ 至 $+85^\circ\text{C}$			+19	
输入偏置电流漂移	$V_{CM} = 0V, T_A = -40^\circ\text{C}$ 至 $+85^\circ\text{C}$			± 12	nA/ $^\circ\text{C}$
输入失调电流	$V_{CM} = 0V$		± 0.1	± 0.8	μA
	$V_{CM} = 0V, T_A = -40^\circ\text{C}$ 至 $+85^\circ\text{C}$			± 1.2	
输入失调电流漂移	$V_{CM} = 0V, T_A = -40^\circ\text{C}$ 至 $+85^\circ\text{C}$			± 5	nA/ $^\circ\text{C}$
输入					
负输入电压 ⁽²⁾			-0.5	-0.4	V
	$T_A = -40^\circ\text{C}$ 至 $+85^\circ\text{C}$			-0.2	
正输入电压 ⁽²⁾		3.1	3.2		V
	$T_A = -40^\circ\text{C}$ 至 $+85^\circ\text{C}$	2.9			
共模抑制比, CMRR	以输入为基准	76	80		dB
	以输入为基准, $T_A = -40^\circ\text{C}$ 至 $+85^\circ\text{C}$	72			
输入阻抗	差分		10 2.1		k Ω pF
	共模		400 1.2		

6.9 $V_S = 5V$ 时 DBV 封装的电气特性 (续)

在 $T_A = 25^\circ\text{C}$ ⁽¹⁾、 $G = +2$ 、 $R_F = 750\Omega$ 、 $R_L = 150\Omega$ (接地) 时测得 (除非另有说明)

参数	测试条件	最小值	典型值	最大值	单位
输出					
输出电压摆幅低位	$G = +5$, $R_L = 1k\Omega$ (连接至 2.5V)		0.09	0.11	V
	$G = +5$, $R_L = 1k\Omega$ (连接至 2.5V), $T_A = -40^\circ\text{C}$ 至 $+85^\circ\text{C}$			0.13	
	$G = +5$, $R_L = 150\Omega$ (连接至 2.5V)		0.21	0.24	
	$G = +5$, $R_L = 150\Omega$ (连接至 2.5V), $T_A = -40^\circ\text{C}$ 至 $+85^\circ\text{C}$			0.26	
输出电压摆幅高位	$G = +5$, $R_L = 1k\Omega$ (连接至 2.5V)	4.89	4.91		V
	$G = +5$, $R_L = 1k\Omega$ (连接至 2.5V), $T_A = -40^\circ\text{C}$ 至 $+85^\circ\text{C}$	4.87			
	$G = +5$, $R_L = 150\Omega$ (连接至 2.5V)	4.75	4.78		
	$G = +5$, $R_L = 150\Omega$ (连接至 2.5V), $T_A = -40^\circ\text{C}$ 至 $+85^\circ\text{C}$	4.72			
电流输出, 灌电流和拉电流	$V_O = \pm 0.88V$, $V_{OS} = 20mV$	± 60	± 80		mA
	$V_O = \pm 0.88V$, $V_{OS} = 20mV$, $T_A = -40^\circ\text{C}$ 至 $+85^\circ\text{C}$	± 52			
短路输出电流	输出短接至任一电源		140		mA
闭环输出阻抗	$G = +2$, $f \leq 100kHz$		0.06		Ω
电源					
静态电流		3.7	4.4	5	mA
	$T_A = -40^\circ\text{C}$ 至 $+85^\circ\text{C}$	3.1		5.7	
电源抑制比, PSRR	以输入为基准	61	66		dB
	以输入为基准, $T_A = -40^\circ\text{C}$ 至 $+85^\circ\text{C}$	59			

(1) 对于 25°C 规格, 结温 = 环境温度。

(2) 在 $\pm\text{CMIR}$ 限值下经测试小于 3dB, 低于 CMRR 最小指定值。

6.10 $V_S = 3V$ 时 DBV 封装的电气特性

在 $T_A = 25^\circ C^{(1)}$ 、 $G = +2$ 、 $R_F = 750\Omega$ 、 $R_L = 150\Omega$ (连接至 $V_S/3$) 时测得 (除非另有说明)

参数	测试条件	最小值	典型值	最大值	单位
交流性能					
小信号带宽	$G = +2, V_O \leq 0.2V_{PP}$		100		MHz
	$G = +5, V_O \leq 0.2V_{PP}$		30		
	$G = +10, V_O \leq 0.2V_{PP}$		13		
增益带宽积	$G \geq +10$		130		MHz
压摆率	1V 阶跃, 20% 至 80%		225		V/ μs
上升时间	0.5V 阶跃, 10% 至 90%		3.3	5.5	ns
下降时间	0.5V 阶跃, 10% 至 90%		3.3	5.5	
稳定时间	$G = +2$, 1V 阶跃, 至 0.1%		45	72	
谐波失真	二次谐波, $V_O = 1V_{PP}, f = 5MHz, R_L = 150\Omega$		-67		dBc
	二次谐波, $V_O = 1V_{PP}, f = 5MHz, R_L \geq 500\Omega$		-67		
	三次谐波, $V_O = 1V_{PP}, f = 5MHz, R_L = 150\Omega$		-66		
	三次谐波, $V_O = 1V_{PP}, f = 5MHz, R_L \geq 500\Omega$		-77		
输入电压噪声	$f > 1MHz$		5.8	10.2	nV/ \sqrt{Hz}
	$f > 1MHz, T_A = 0^\circ C$ 至 $70^\circ C$			10.7	
输入电流噪声	$f > 1MHz$		4	5.2	pA/ \sqrt{Hz}
	$f > 1MHz, T_A = 0^\circ C$ 至 $70^\circ C$			6	
直流性能					
开环电压增益	$V_O = \pm 0.5V$	66	72		dB
	$V_O = \pm 0.5V, T_A = 0^\circ C$ 至 $70^\circ C$	65			
输入失调电压			± 1.5	± 7	mV
	$T_A = 0^\circ C$ 至 $70^\circ C$			± 8.1	
平均失调电压漂移	$T_A = 0^\circ C$ 至 $70^\circ C$			± 25	$\mu V/^\circ C$
输入偏置电流	$V_{CM} = 0V$		14	18	μA
	$V_{CM} = 0V, T_A = 0^\circ C$ 至 $70^\circ C$			19	
输入偏置电流漂移	$V_{CM} = 0V, T_A = 0^\circ C$ 至 $70^\circ C$			± 12	nA/ $^\circ C$
输入失调电流	$V_{CM} = 0V$		± 0.1	± 1	μA
	$V_{CM} = 0V, T_A = 0^\circ C$ 至 $70^\circ C$			± 1.2	
输入失调电流漂移	$V_{CM} = 0V, T_A = 0^\circ C$ 至 $70^\circ C$			± 5	nA/ $^\circ C$
输入					
负输入电压 ⁽²⁾			-0.45	-0.4	V
	$T_A = 0^\circ C$ 至 $70^\circ C$, 0.4V 阶跃			-0.27	
正输入电压 ⁽²⁾		1.1	1.2		V
	$T_A = 0^\circ C$ 至 $70^\circ C$, 0.4V 阶跃	1.0			
共模抑制比, CMRR	以输入为基准	75	80		dB
	以输入为基准, $T_A = 0^\circ C$ 至 $70^\circ C$	73			
输入阻抗	差分		10 2.1		k Ω pF
	共模		400 1.2		

6.10 $V_S = 3V$ 时 DBV 封装的电气特性 (续)

在 $T_A = 25^\circ\text{C}$ ⁽¹⁾、 $G = +2$ 、 $R_F = 750\Omega$ 、 $R_L = 150\Omega$ (连接至 $V_S/3$) 时测得 (除非另有说明)

参数	测试条件	最小值	典型值	最大值	单位
输出					
输出电压摆幅低位	$G = +5$, $R_L = 1k\Omega$ (连接至 1.5V)		0.08	0.11	V
	$G = +5$, $R_L = 1k\Omega$ (连接至 1.5V), $T_A = 0^\circ\text{C}$ 至 70°C			0.125	
	$G = +5$, $R_L = 150\Omega$ (连接至 1.5V)		0.17	0.39	
	$G = +5$, $R_L = 150\Omega$ (连接至 1.5V), $T_A = 0^\circ\text{C}$ 至 70°C			0.40	
输出电压摆幅高位	$G = +5$, $R_L = 1k\Omega$ (连接至 1.5V)	2.88	2.91		V
	$G = +5$, $R_L = 1k\Omega$ (连接至 1.5V), $T_A = 0^\circ\text{C}$ 至 70°C	2.85			
	$G = +5$, $R_L = 150\Omega$ (连接至 1.5V)	2.74	2.82		
	$G = +5$, $R_L = 150\Omega$ (连接至 1.5V), $T_A = 0^\circ\text{C}$ 至 70°C	2.70			
电流输出, 灌电流和拉电流	$V_O = \pm 0.125V$, $V_{OS} = 20mV$	± 20	± 30		mA
	$V_O = \pm 0.125V$, $V_{OS} = 20mV$, $T_A = 0^\circ\text{C}$ 至 70°C	± 18			
短路输出电流	输出短接至任一电源		45		
闭环输出阻抗	$G = +2$, $f \leq 100kHz$		0.03		Ω
电源					
静态电流		3.3	4.3	4.9	mA
	$T_A = 0^\circ\text{C}$ 至 70°C	3.1		5.5	
电源抑制比, PSRR	以输入为基准	60	64		dB
	以输入为基准, $T_A = 0^\circ\text{C}$ 至 70°C	58			

(1) 对于 25°C 规格, 结温 = 环境温度。

(2) 在 $\pm\text{CMIR}$ 限值下经测试小于 3dB, 低于 CMRR 最小指定值。

6.11 典型特性 : $V_S = \pm 5V$

在 $T_A = 25^\circ C$ 、 $G = +2$ 、 $R_F = 750\ \Omega$ 、 $R_L = 150\ \Omega$ (连接至 GND) 时测得 (除非另有说明) ; 另请参阅图 8-3

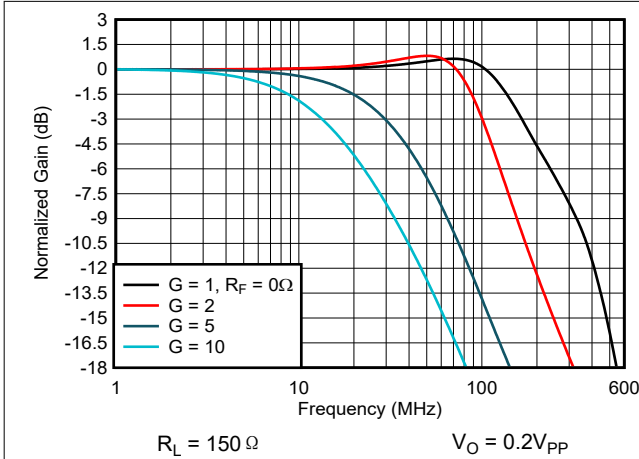


图 6-1. 同相小信号频率响应

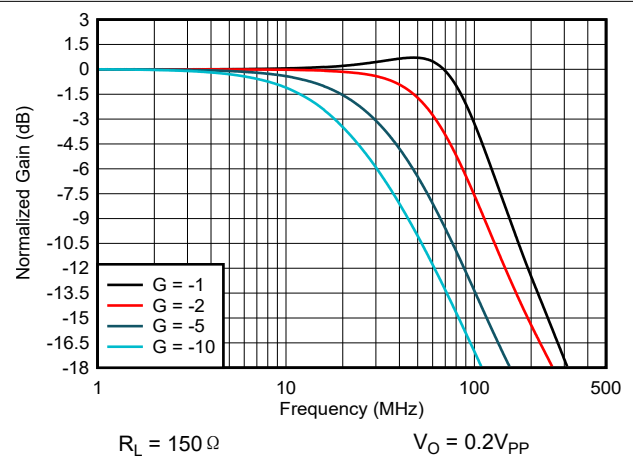


图 6-2. 反相小信号频率响应

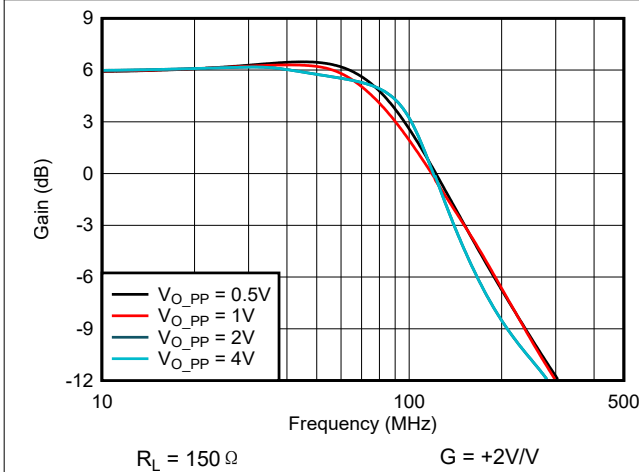


图 6-3. 同相大信号频率响应

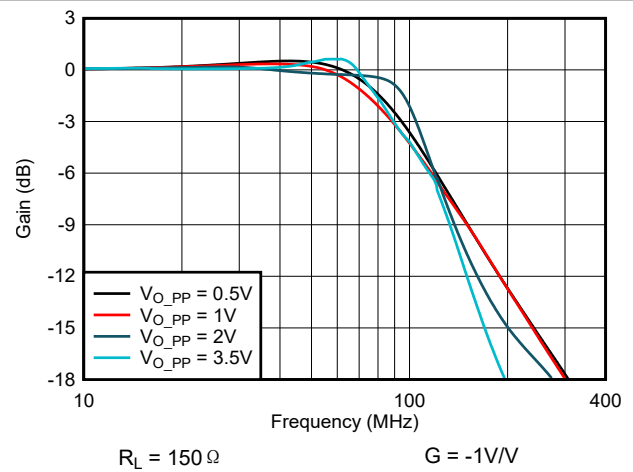


图 6-4. 反相大信号频率响应

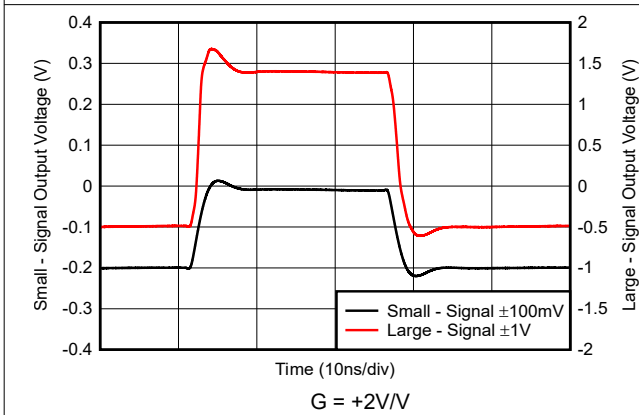


图 6-5. 同相脉冲响应

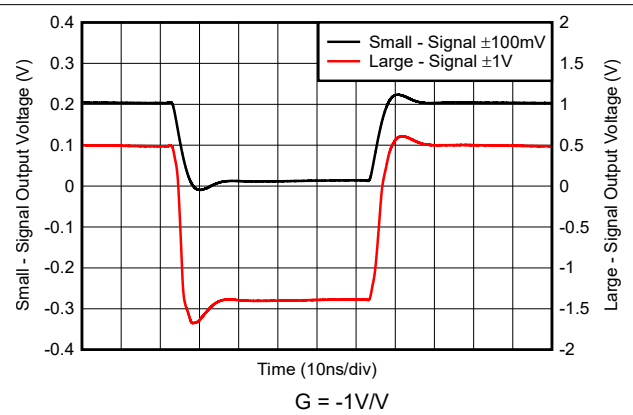


图 6-6. 反相脉冲响应

6.11 典型特性 : $V_S = \pm 5V$ (续)

在 $T_A = 25^\circ C$ 、 $G = +2$ 、 $R_F = 750\ \Omega$ 、 $R_L = 150\ \Omega$ (连接至 GND) 时测得 (除非另有说明) ; 另请参阅图 8-3

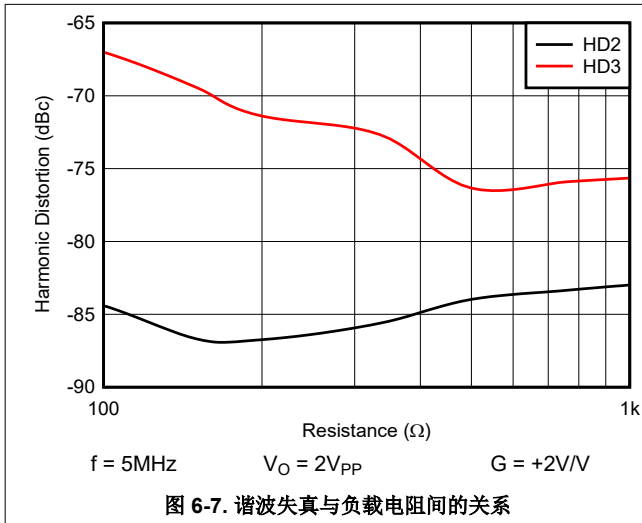


图 6-7. 谐波失真与负载电阻间的关系

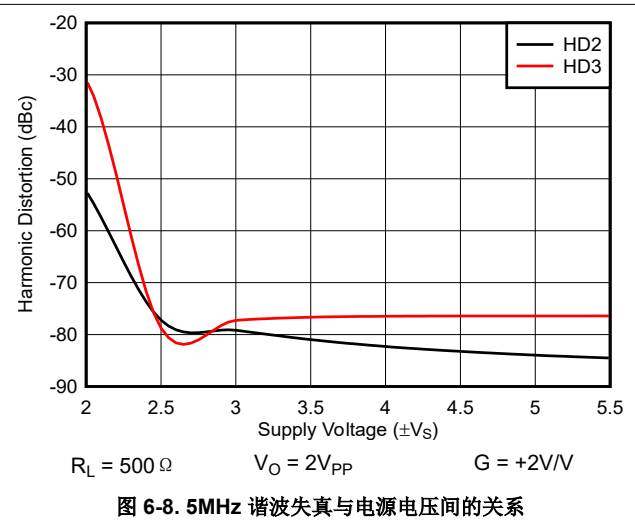


图 6-8. 5MHz 谐波失真与电源电压间的关系

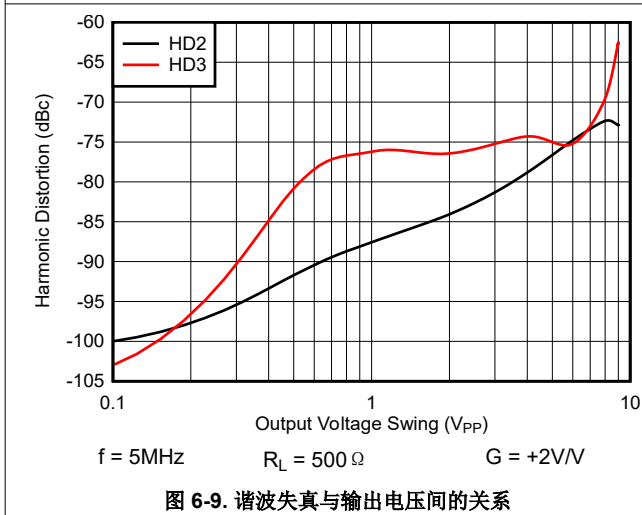


图 6-9. 谐波失真与输出电压间的关系

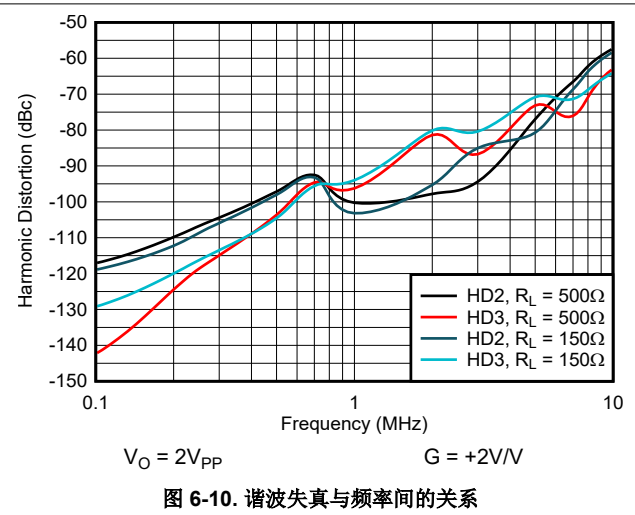


图 6-10. 谐波失真与频率间的关系

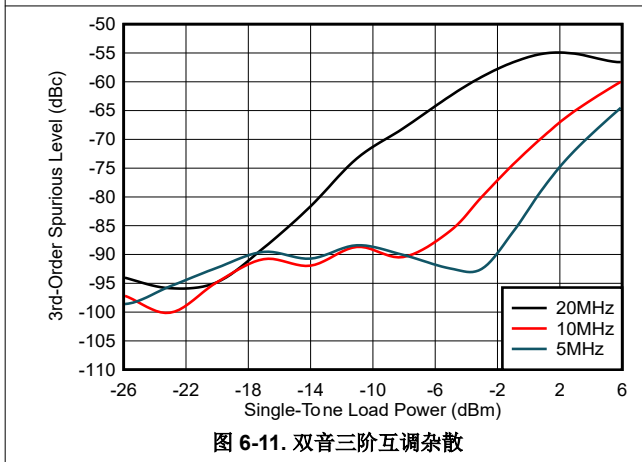


图 6-11. 双音三阶互调杂散

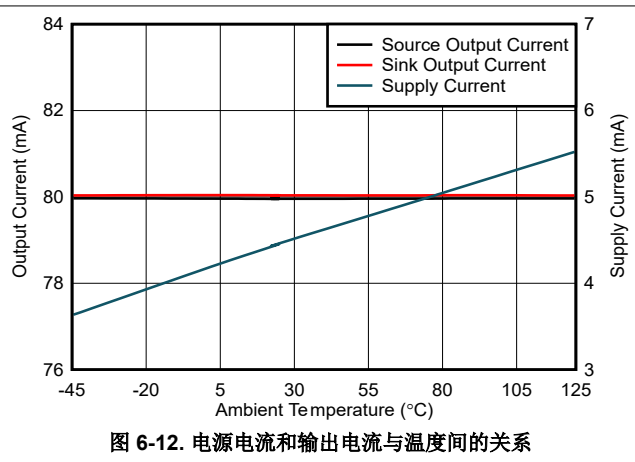
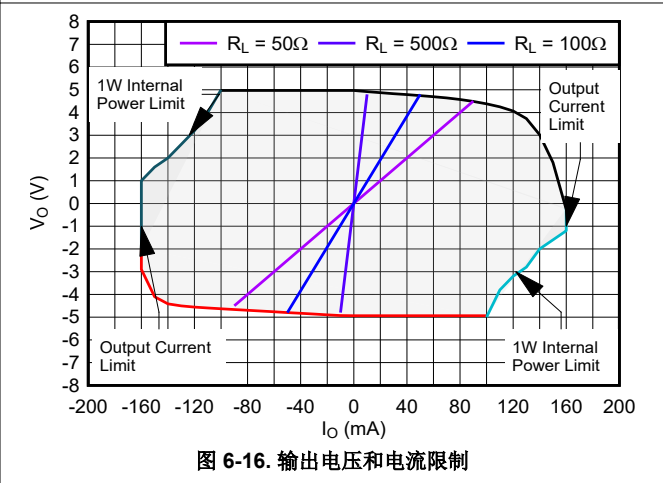
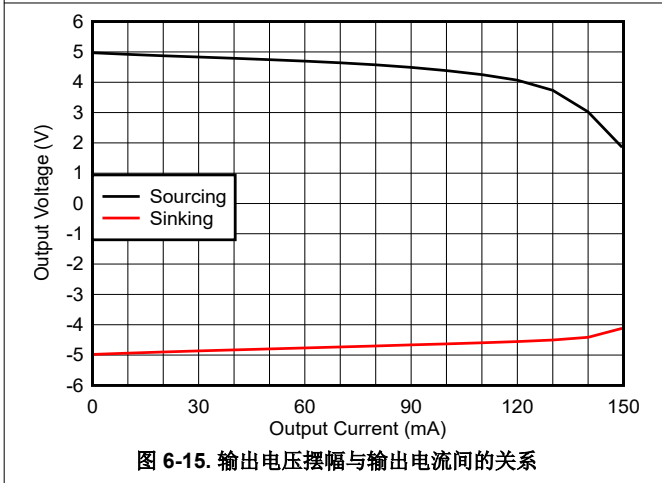
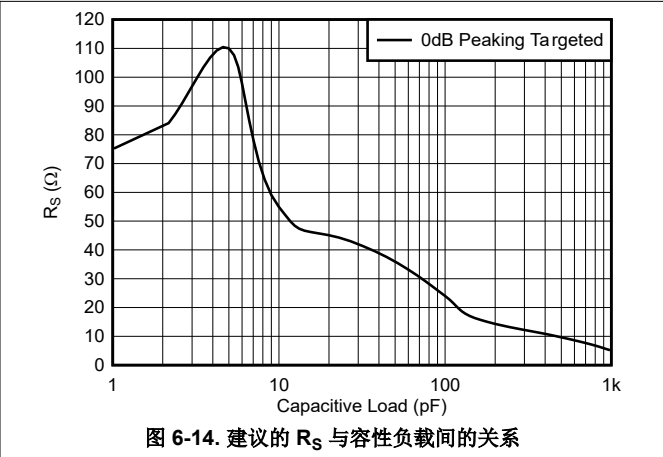
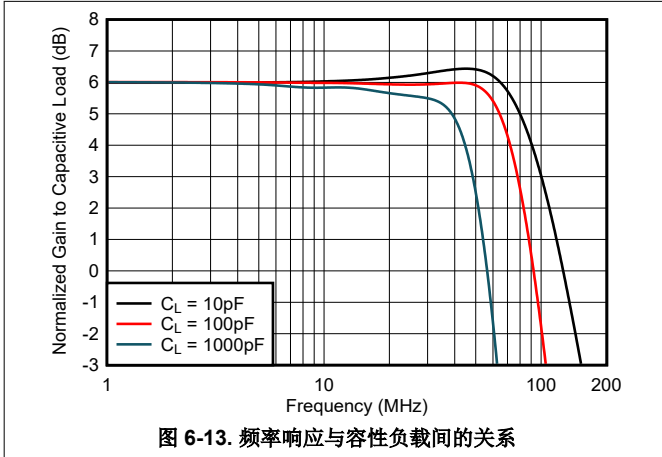


图 6-12. 电源电流和输出电流与温度间的关系

6.11 典型特性 : $V_S = \pm 5V$ (续)

在 $T_A = 25^\circ C$ 、 $G = +2$ 、 $R_F = 750\ \Omega$ 、 $R_L = 150\ \Omega$ (连接至 GND) 时测得 (除非另有说明) ; 另请参阅图 8-3



6.12 典型特性： $V_S = \pm 5V$ ，差分配置

在 $T_A = 25^\circ C$ 、 $G_D = +2$ 、 $R_F = 604 \Omega$ 、 $R_L = 500 \Omega$ 时测得（除非另有说明）。请参阅图 7-1

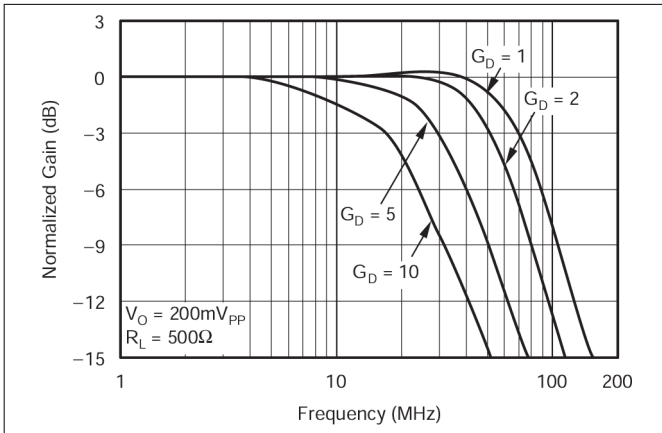


图 6-17. 差分小信号频率响应

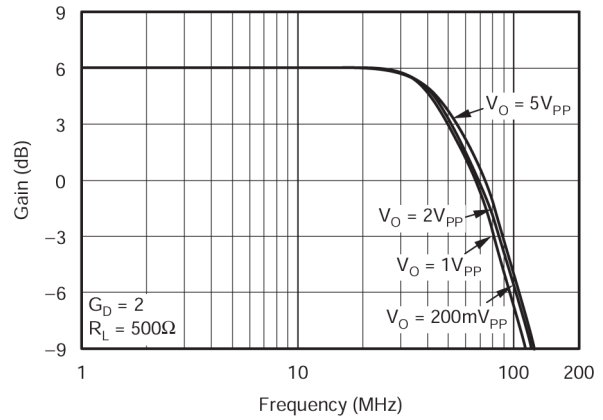


图 6-18. 差分大信号频率响应

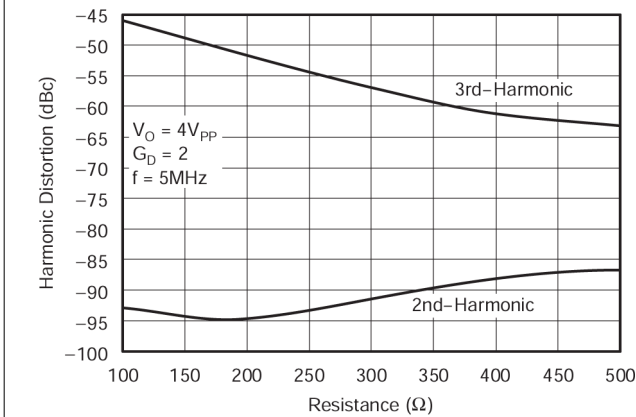


图 6-19. 差分失真与负载电阻间的关系

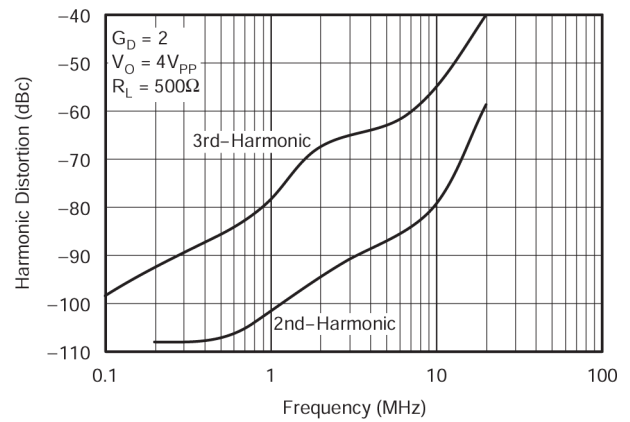


图 6-20. 差分失真与频率间的关系

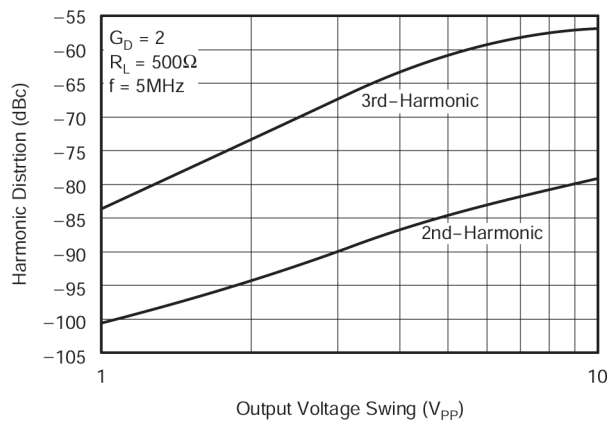
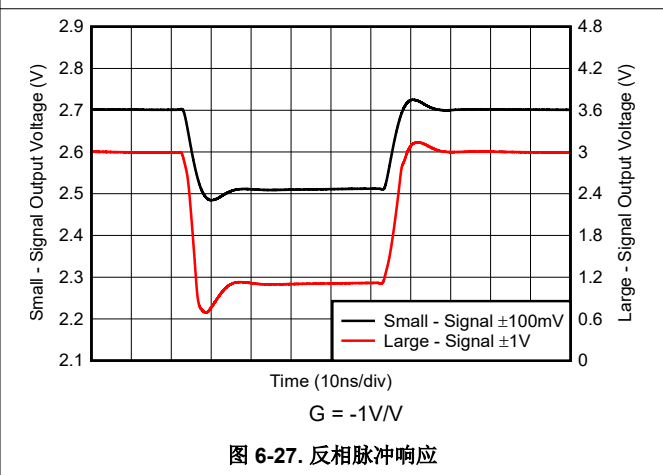
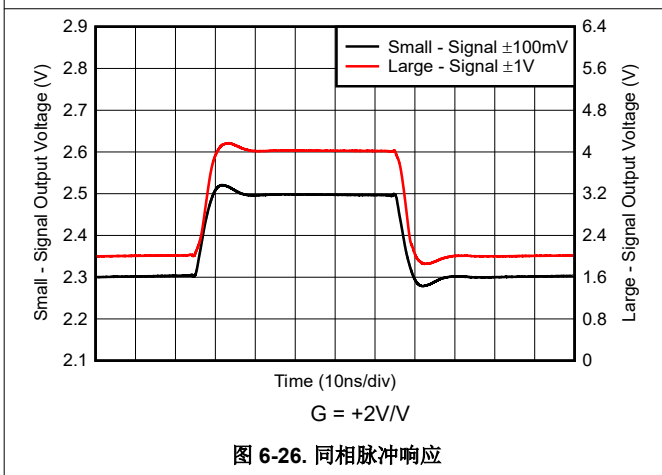
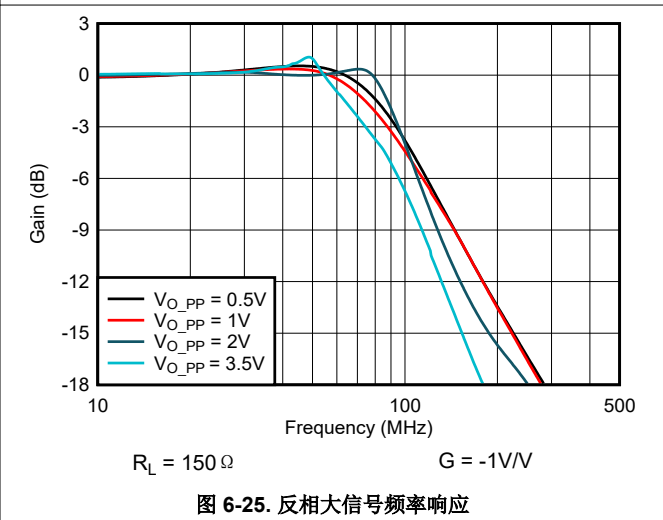
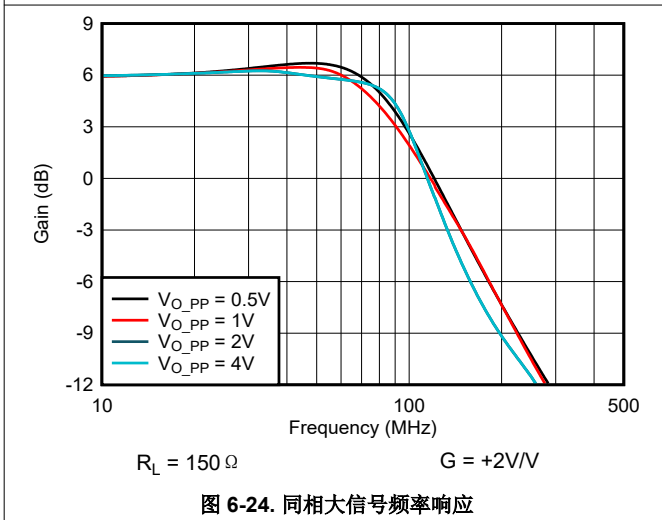
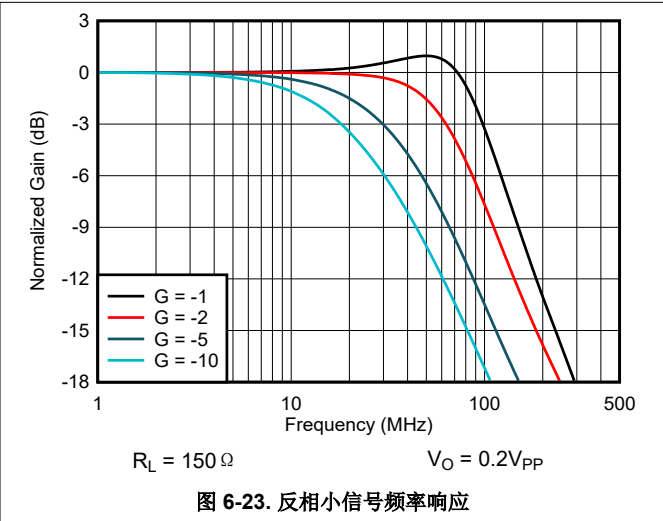
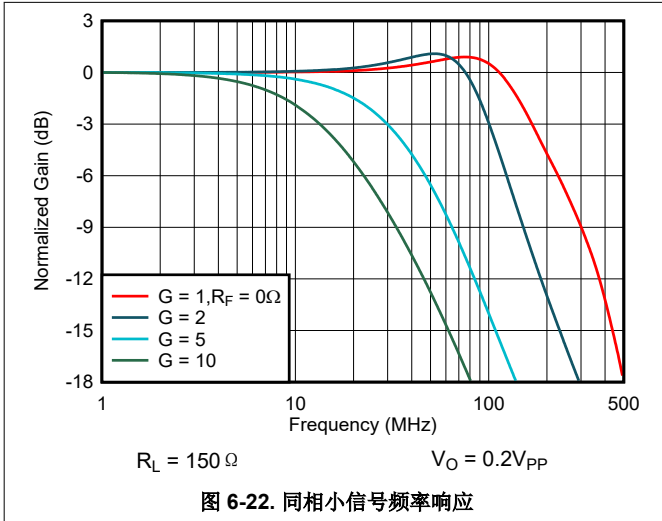


图 6-21. 差分失真与输出电压间的关系

6.13 典型特性 : $V_S = 5V$

在 $T_A = 25^\circ C$ 、 $G = +2$ 、 $R_F = 750\ \Omega$ 、 $R_L = 150\ \Omega$ (连接至 $V_S/2$)、输入 $V_{CM} = 2.5V$ 时测得 (除非另有说明) ; 另请参阅图 8-1



6.13 典型特性 : $V_S = 5V$ (续)

在 $T_A = 25^\circ C$ 、 $G = +2$ 、 $R_F = 750\ \Omega$ 、 $R_L = 150\ \Omega$ (连接至 $V_S/2$)、输入 $V_{CM} = 2.5V$ 时测得 (除非另有说明) ; 另请参阅图 8-1

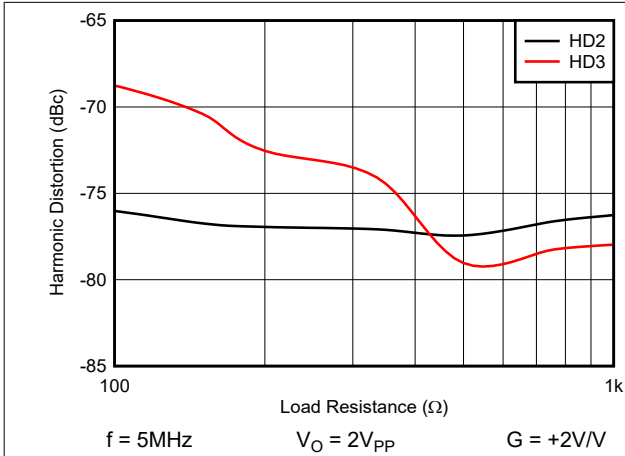


图 6-28. 谐波失真与负载电阻间的关系

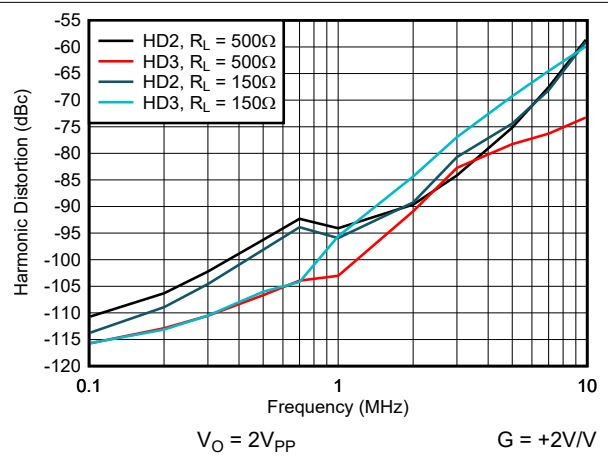


图 6-29. 谐波失真与频率间的关系

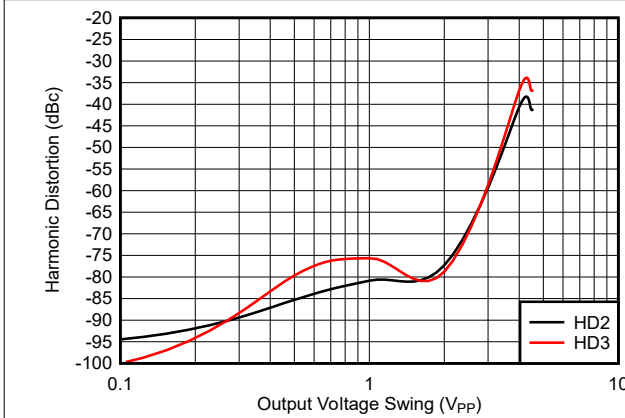


图 6-30. 谐波失真与输出电压间的关系

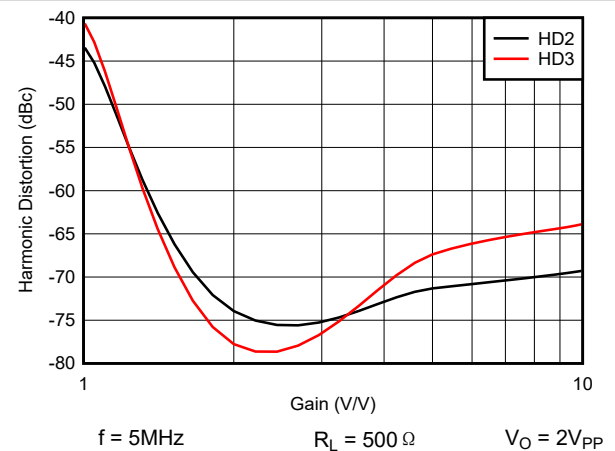


图 6-31. 谐波失真与反相增益间的关系

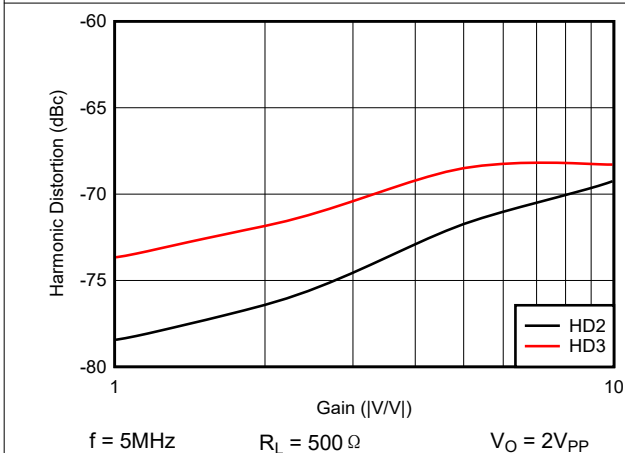


图 6-32. 谐波失真与反相增益间的关系

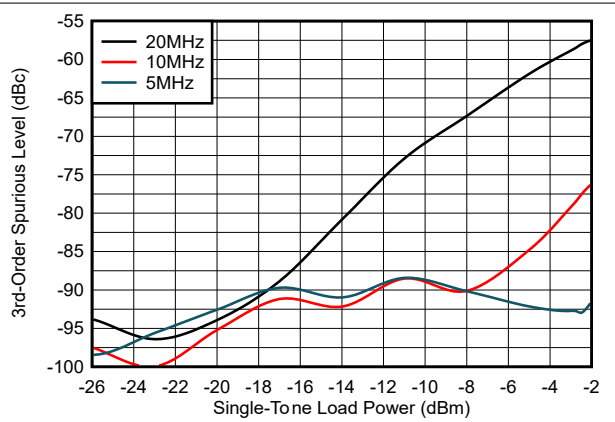


图 6-33. 双音三阶互调杂散

6.13 典型特性 : $V_S = 5V$ (续)

在 $T_A = 25^\circ C$ 、 $G = +2$ 、 $R_F = 750\ \Omega$ 、 $R_L = 150\ \Omega$ (连接至 $V_S/2$)、输入 $V_{CM} = 2.5V$ 时测得 (除非另有说明) ; 另请参阅图 8-1

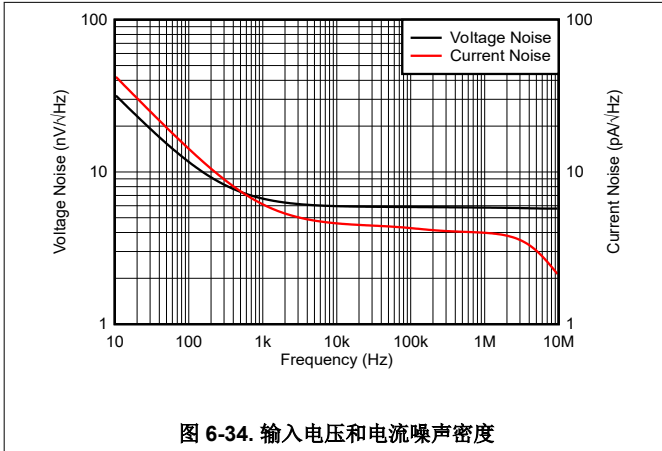


图 6-34. 输入电压和电流噪声密度

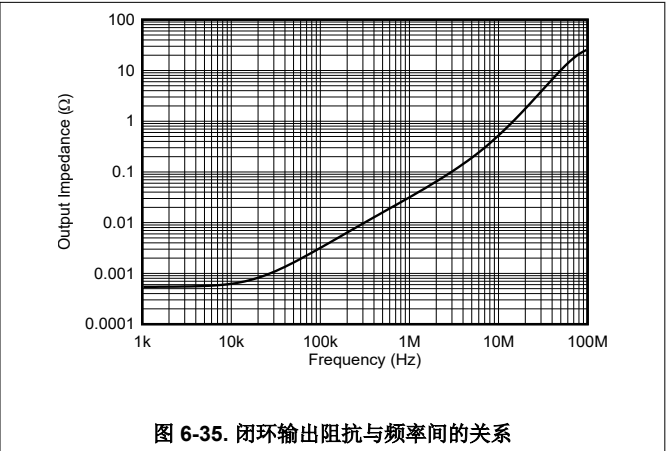


图 6-35. 闭环输出阻抗与频率间的关系

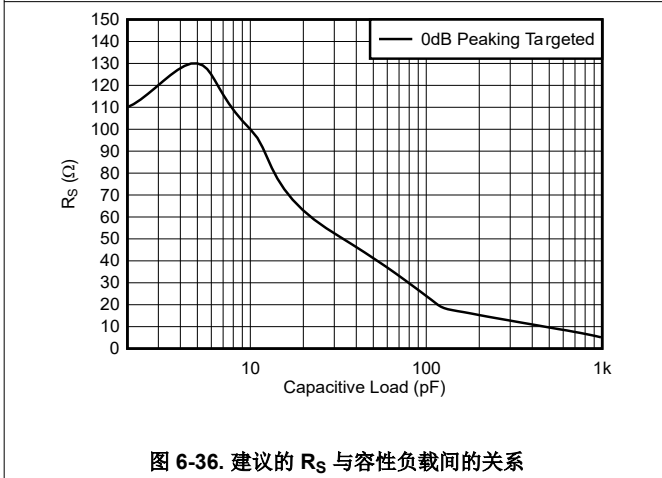


图 6-36. 建议的 R_S 与容性负载间的关系

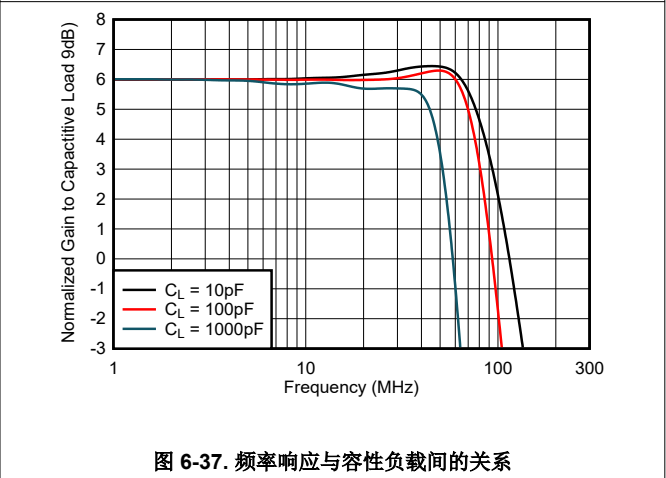


图 6-37. 频率响应与容性负载间的关系

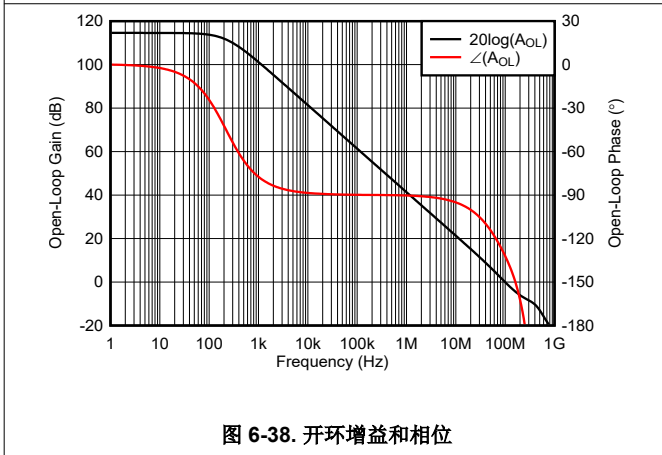


图 6-38. 开环增益和相位

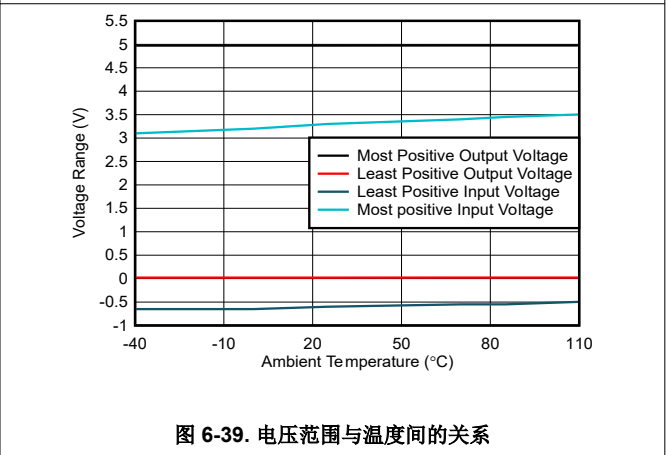
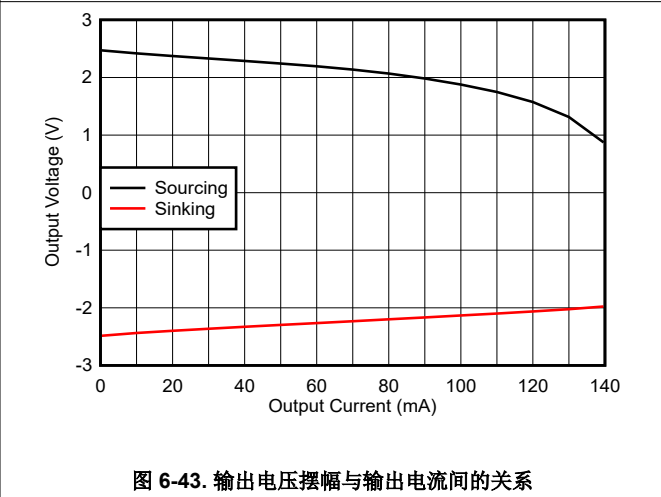
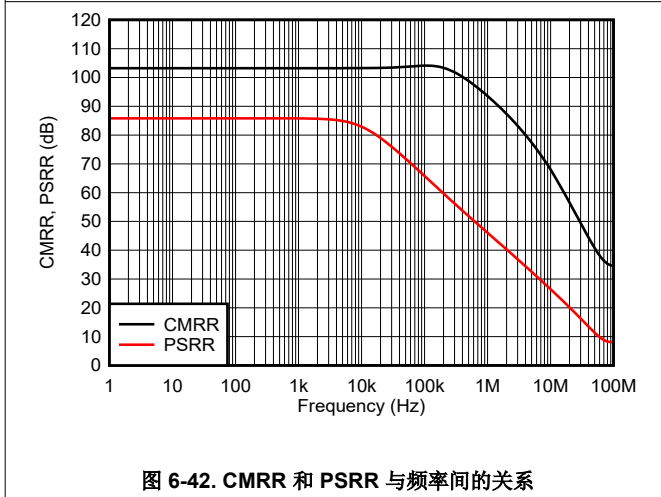
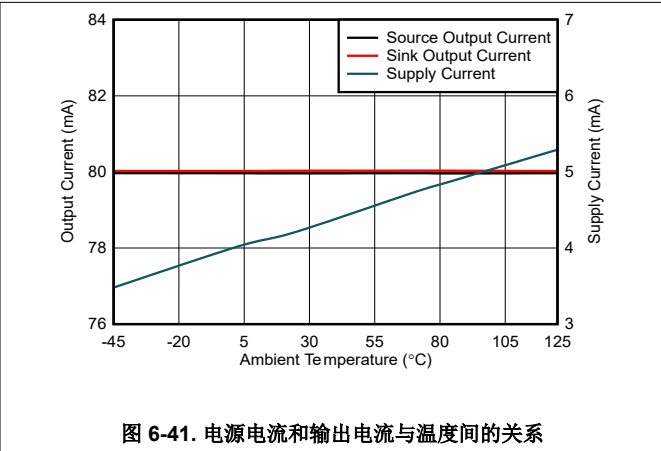
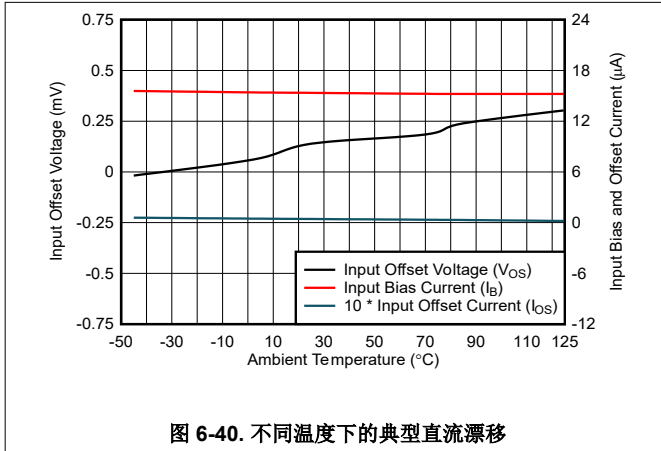


图 6-39. 电压范围与温度间的关系

6.13 典型特性 : $V_S = 5V$ (续)

在 $T_A = 25^\circ C$ 、 $G = +2$ 、 $R_F = 750 \Omega$ 、 $R_L = 150 \Omega$ (连接至 $V_S/2$)、输入 $V_{CM} = 2.5V$ 时测得 (除非另有说明) ; 另请参阅图 8-1



6.14 典型特性：V_S = 5V，差分配置

在 T_A = 25°C、G = +2、R_F = 604 Ω、R_L = 500Ω 差分时测得 (除非另有说明)。请参阅图 7-2

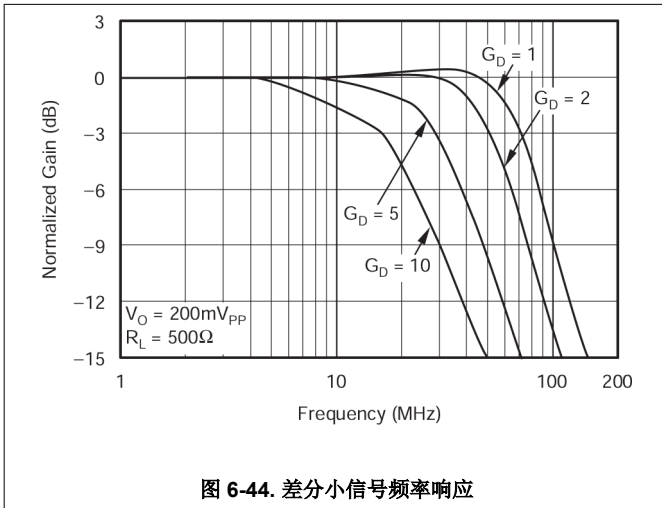


图 6-44. 差分小信号频率响应

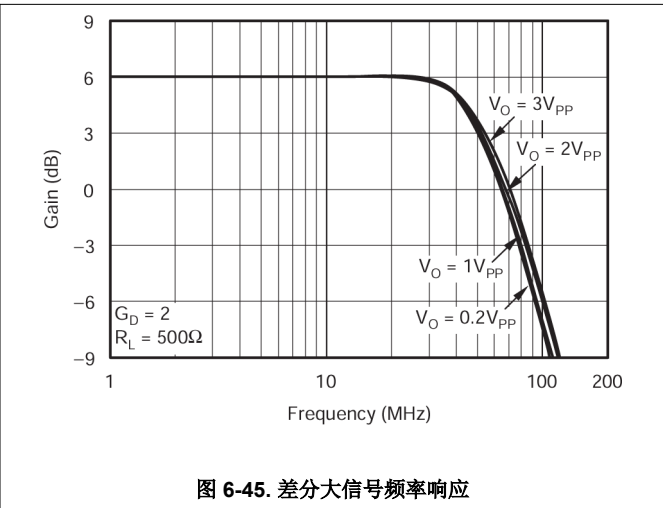


图 6-45. 差分大信号频率响应

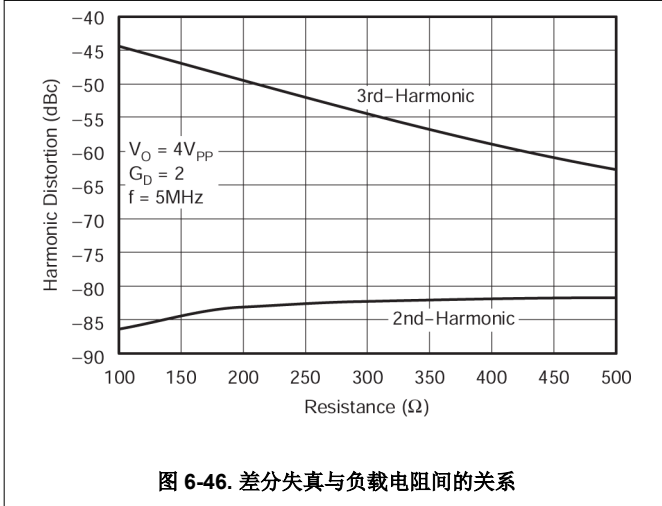


图 6-46. 差分失真与负载电阻间的关系

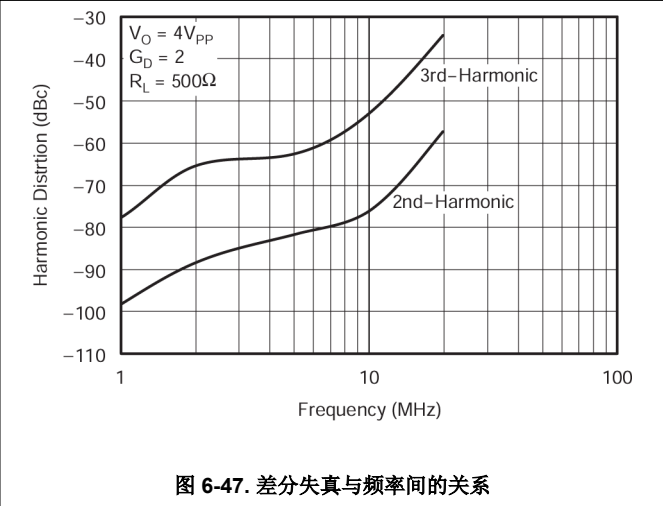


图 6-47. 差分失真与频率间的关系

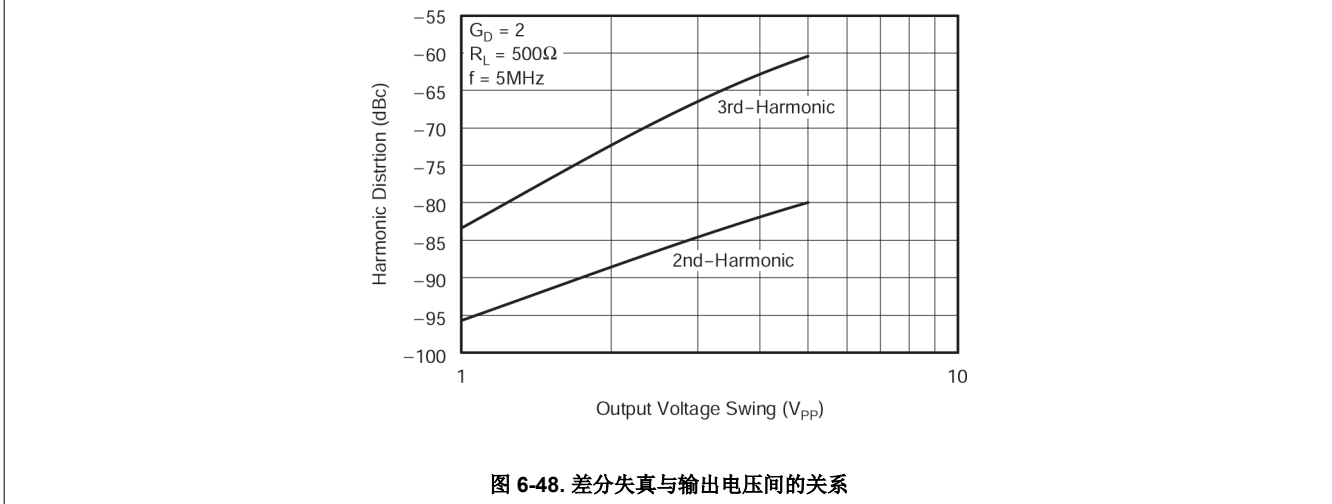
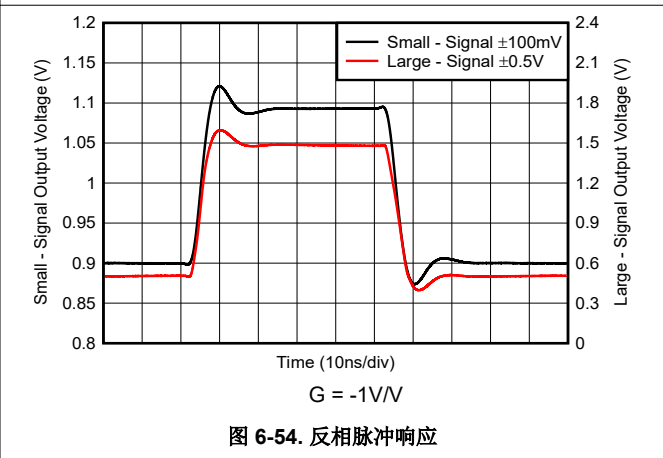
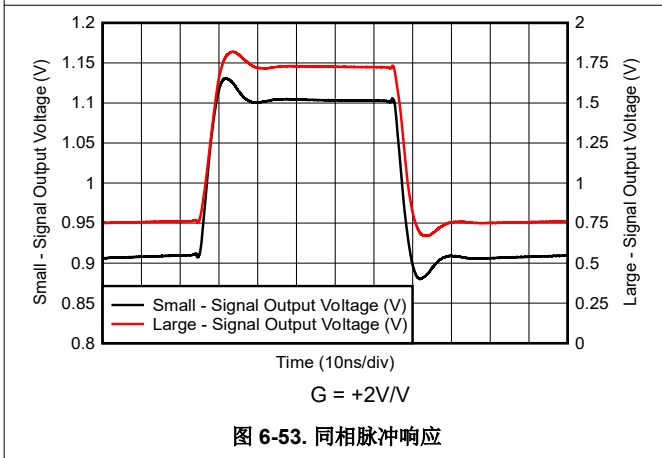
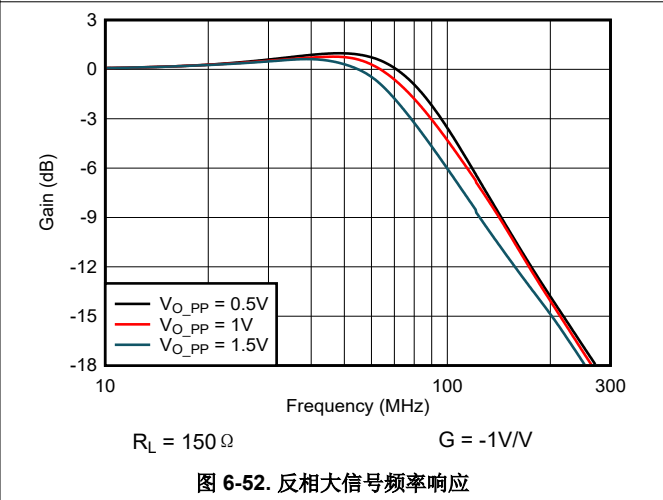
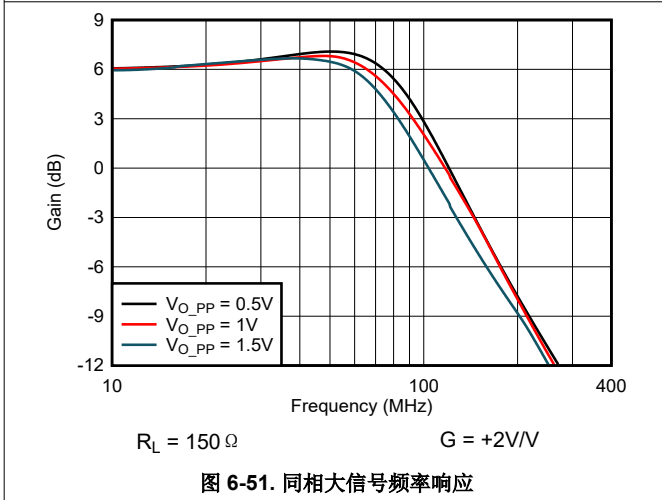
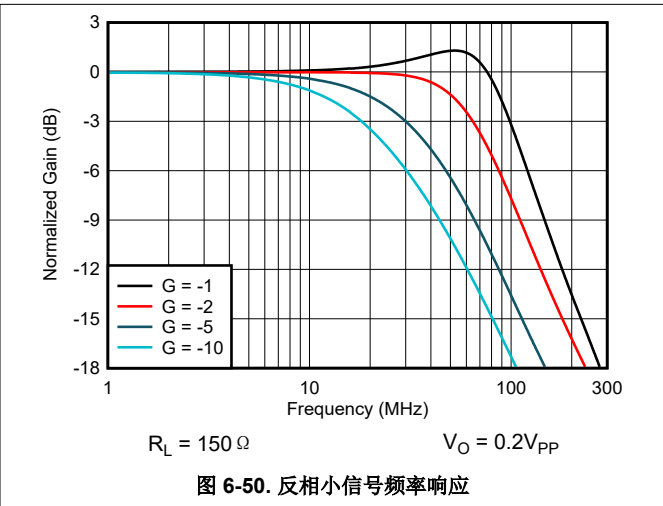
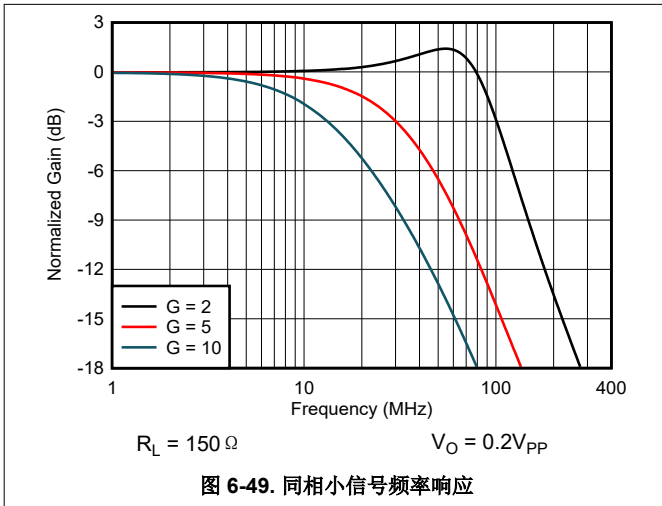


图 6-48. 差分失真与输出电压间的关系

6.15 典型特性 : $V_S = 3V$

在 $T_A = 25^\circ C$ 、 $G = +2$ 、 $R_F = 150 \Omega$ (连接至 $V_S/3$) 时测得 (除非另有说明) ; 另请参阅图 8-2



6.15 典型特性 : $V_S = 3V$ (续)

在 $T_A = 25^\circ C$ 、 $G = +2$ 、 $R_F = 150\Omega$ (连接至 $V_S/3$) 时测得 (除非另有说明) ; 另请参阅图 8-2

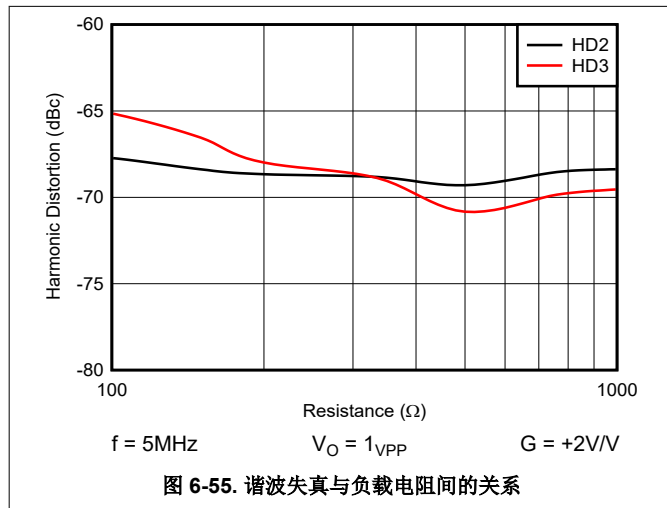


图 6-55. 谐波失真与负载电阻间的关系

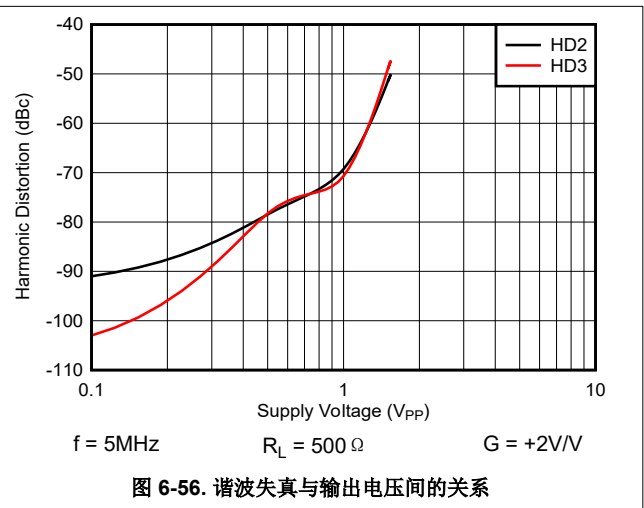


图 6-56. 谐波失真与输出电压间的关系

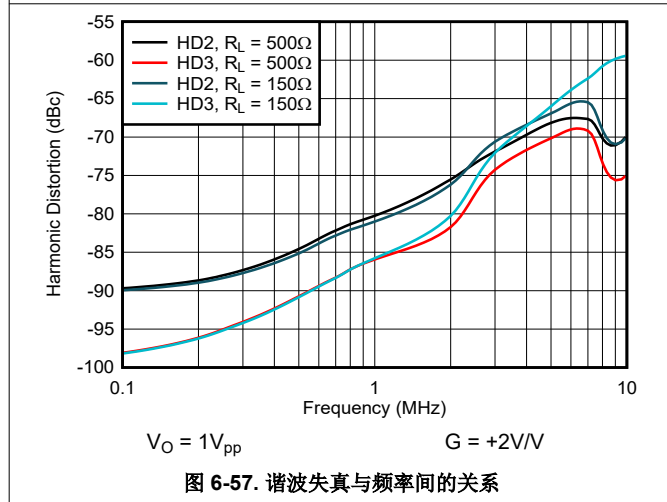


图 6-57. 谐波失真与频率间的关系

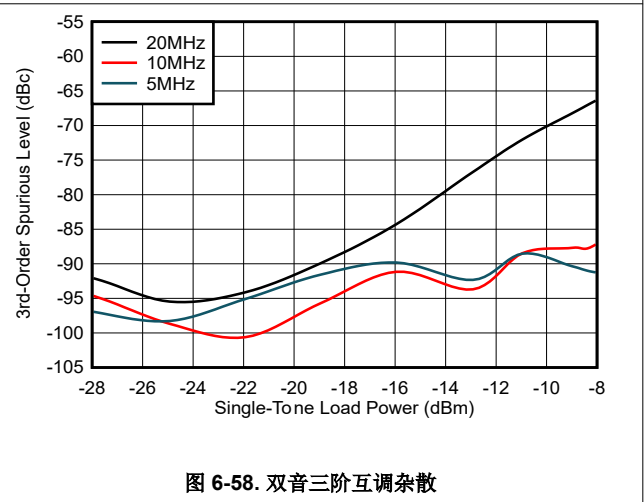


图 6-58. 双音三阶互调杂散

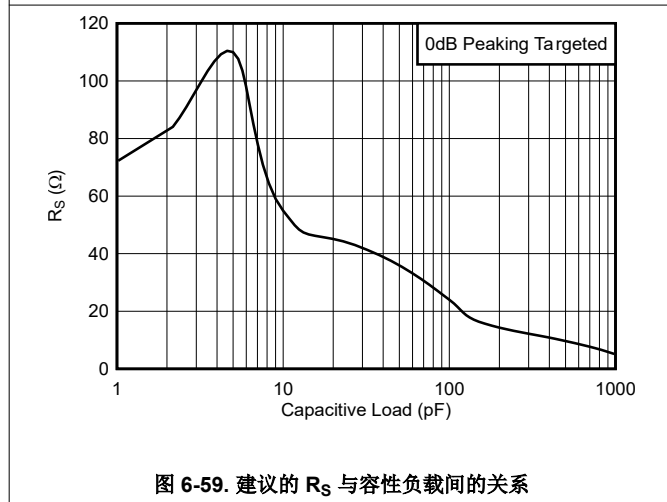


图 6-59. 建议的 R_S 与容性负载间的关系

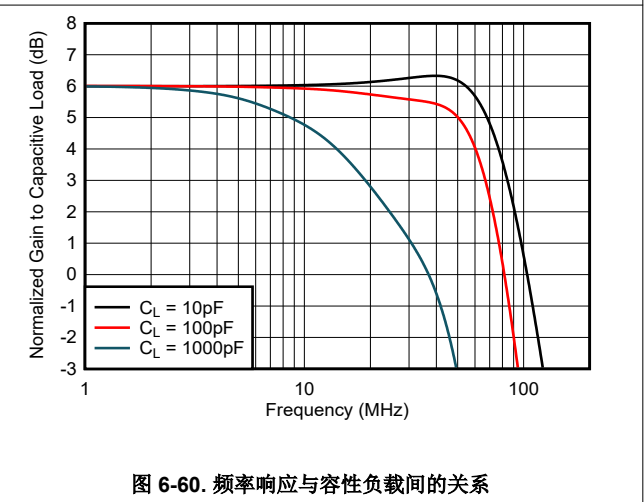


图 6-60. 频率响应与容性负载间的关系

6.15 典型特性 : $V_S = 3V$ (续)

在 $T_A = 25^\circ\text{C}$ 、 $G = +2$ 、 $R_F = 150\ \Omega$ (连接至 $V_S/3$) 时测得 (除非另有说明) ; 另请参阅图 8-2

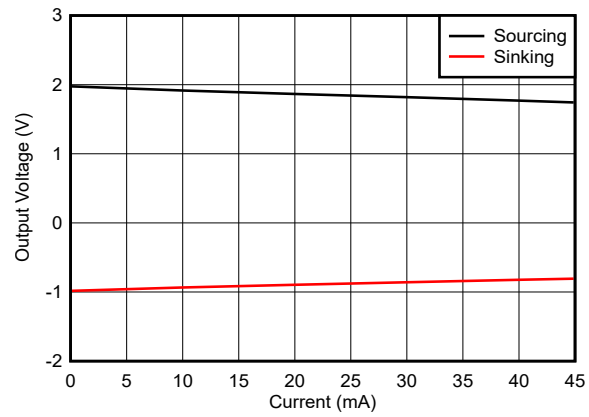


图 6-61. 输出摆幅与负载电阻间的关系

6.16 典型特性： $V_S = 3V$ ，差分配置

在 $T_A = 25^\circ C$ 、 $G = +2$ 、 $R_F = 604\ \Omega$ 、 $R_L = 500\ \Omega$ 差分时测得（除非另有说明）。请参阅图 7-3

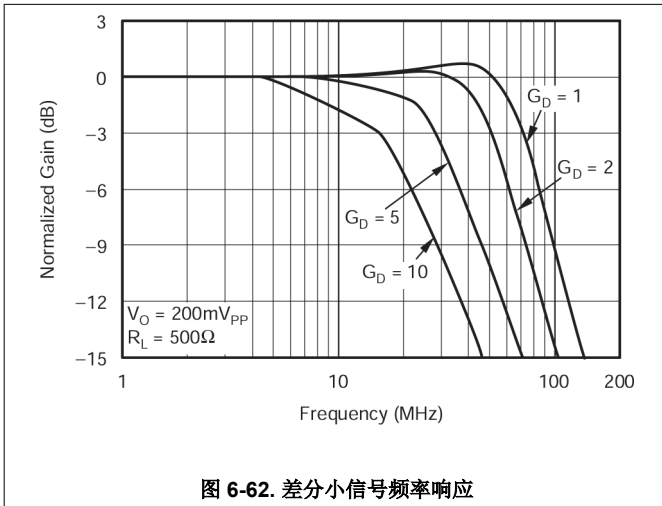


图 6-62. 差分小信号频率响应

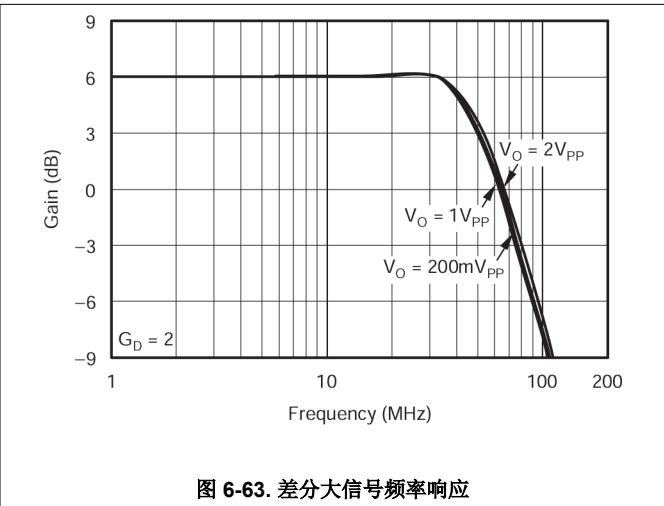


图 6-63. 差分大信号频率响应

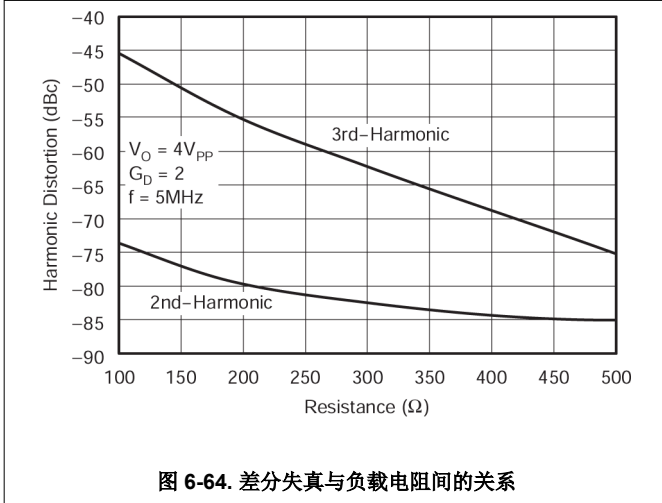


图 6-64. 差分失真与负载电阻间的关系

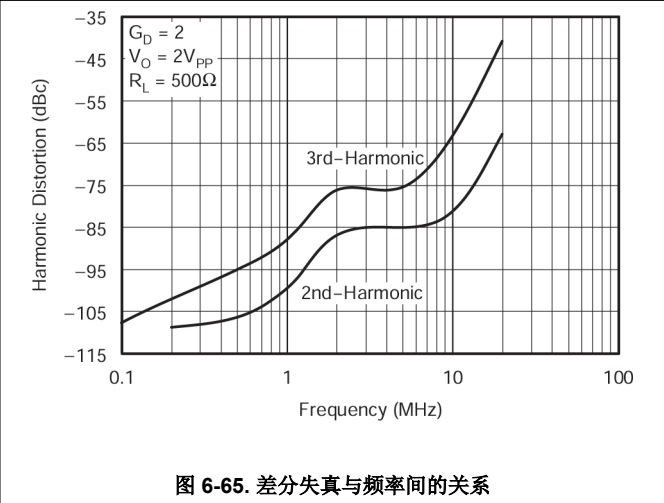


图 6-65. 差分失真与频率间的关系

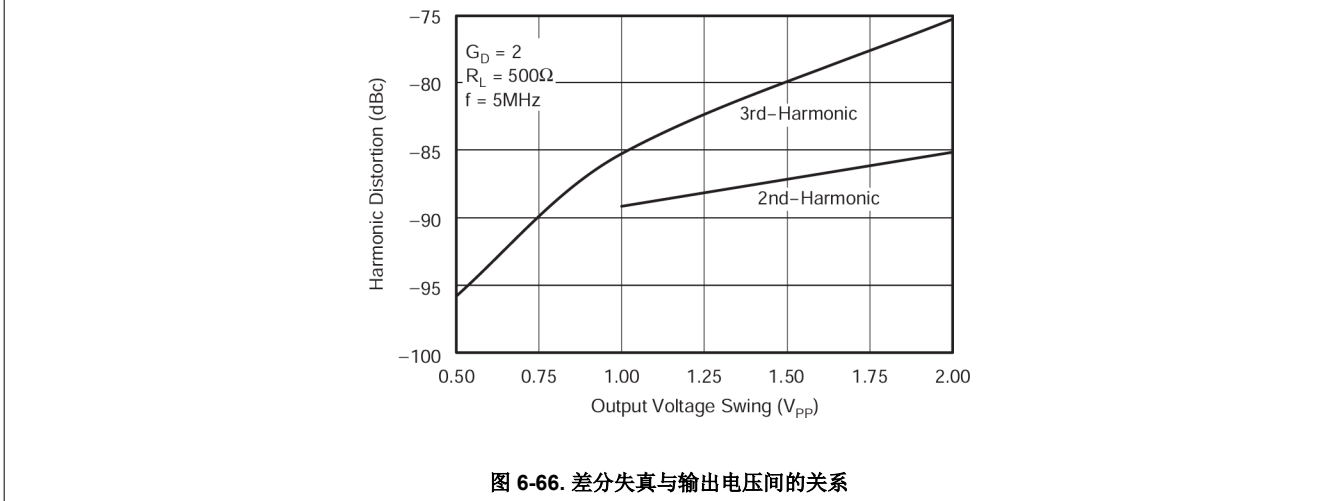


图 6-66. 差分失真与输出电压间的关系

7 参数测量信息

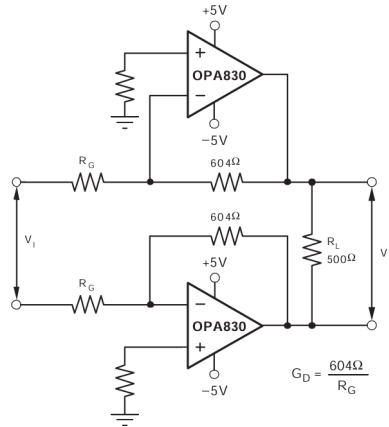


图 7-1. 10V 差分配置测试电路

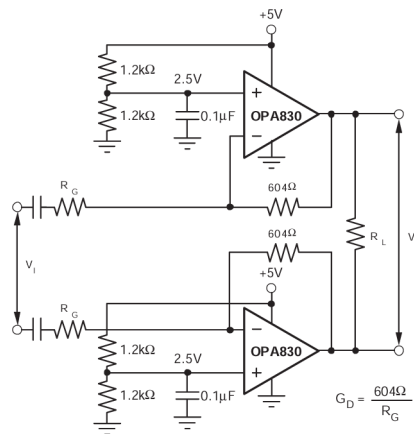


图 7-2. 5V 差分配置测试电路

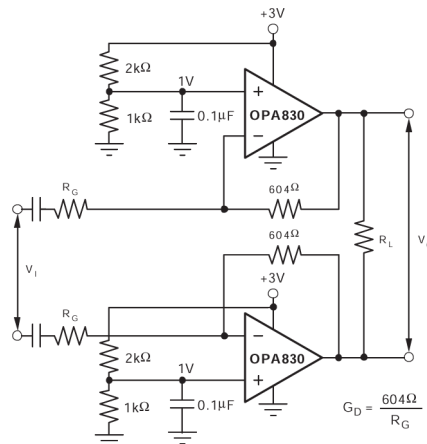


图 7-3. 3V 差分配置测试电路

8 应用和实例

备注

以下应用部分中的信息不属于 TI 器件规格的范围，TI 不担保其准确性和完整性。TI 的客户应负责确定器件是否适用于其应用。客户应验证并测试其设计，以确保系统功能。

8.1 应用信息

8.1.1 宽带电压反馈运算

OPA830 是单位增益稳定的超高速电压反馈运算放大器，专为单电源运行（+3V 至 +10V）而设计。输入级支持低于接地且在正电源 1.7V 以内的输入电压。互补共发射极输出级提供接地和正电源 25mV 范围内的输出摆幅。OPA830 经过补偿，可以在各种阻性负载下实现稳定运行。

图 8-1 显示了用于 +5V 规格和典型特性曲线的交流耦合、+2 增益配置。出于测试目的，通过一个接地电阻器将输入阻抗设置为 $50\ \Omega$ 。“电气特性”中报告的电压摆幅直接取自输入和输出引脚。对于图 8-1 的电路，高频下输出端的总有效负载为 $150\ \Omega \parallel 1500\ \Omega$ 。同相输入端的 $1.5\text{k}\ \Omega$ 电阻器提供共模偏置电压。并联组合等于反相输入端的直流电阻 (R_F)，可降低由输入偏置电流引起的直流输出失调电压。

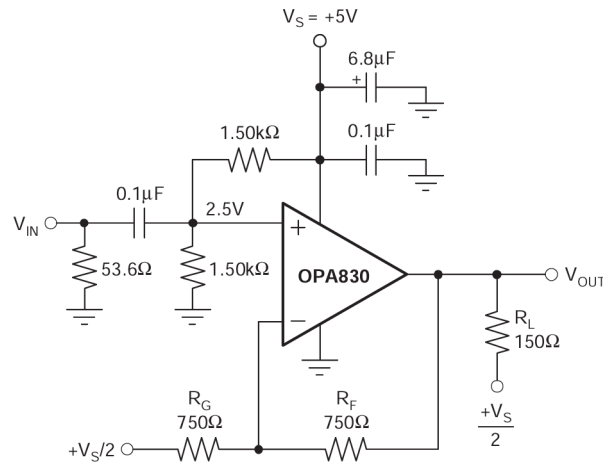


图 8-1. 交流耦合、 $G = +2$ 、+5V 单电源规格和测试电路

图 8-2 显示了用于 3V 电气特性和典型特性的交流耦合、+2 增益配置。出于测试目的，通过一个接地电阻器将输入阻抗设置为 $50\ \Omega$ 。电气特性中报告的电压摆幅直接取自输入和输出引脚。对于图 8-2 的电路，高频下输出端的总有效负载为 $150\ \Omega \parallel 1500\ \Omega$ 。同相输入端的 $1.13\text{k}\ \Omega$ 和 $2.26\text{k}\ \Omega$ 电阻器提供共模偏置电压。并联组合等于反相输入端的直流电阻 (R_F)，可降低由输入偏置电流引起的直流输出失调电压。

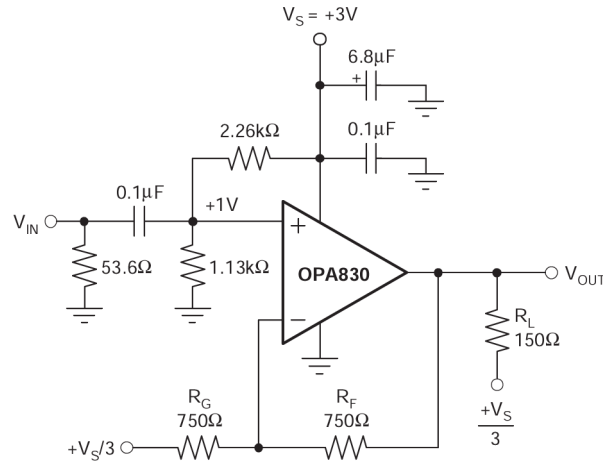


图 8-2. 交流耦合、 $G = +2$ 、+3V 单电源规格和测试电路

图 8-3 显示了用作 $\pm 5V$ 电气特性和典型特性的基础的直流耦合、+2 增益、双电源电路配置。出于测试目的，输入阻抗通过接地电阻器设置为 50Ω ，而输出阻抗通过串联输出电阻器设置为 150Ω 。规格中报告的电压摆幅直接取自输入和输出引脚。对于图 8-3 的电路，总有效负载为 $150\Omega \parallel 1.5k\Omega$ 。图 8-3 中包含两个可选元件。此外，还包括一个与同相输入串联的附加电阻器 (348Ω)。结合朝向信号发生器的 25Ω 直流源电阻，此配置提供输入偏置电流消除电阻，该电阻与反相输入端的 375Ω 源电阻相匹配（另请参阅节 8.1.10）。除常见的接地电源去耦电容器之外，两个电源引脚之间还包含一个 $0.01\mu F$ 电容器。在实际印刷电路板 (PCB) 布局布线中，该可选电容器通常可将二次谐波失真性能提高 $3dB$ 至 $6dB$ 。

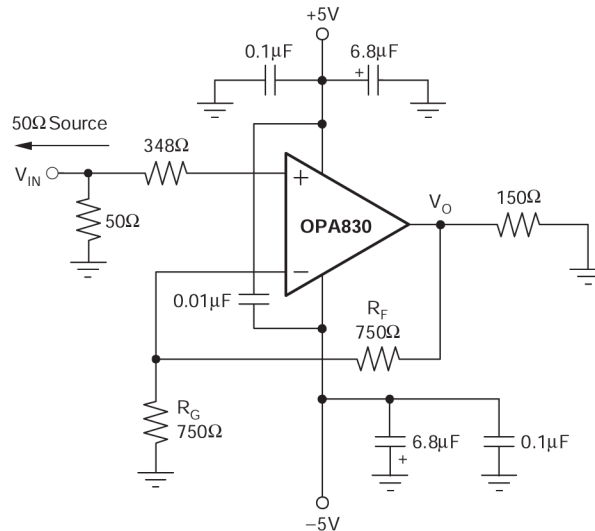


图 8-3. 直流耦合、 $G = +2$ 、双极电源规格和测试电路

8.1.2 直流电平转换

图 8-4 显示了一个直流耦合同相放大器，该放大器对输入进行电平转换以适应所需的输出电压范围。给定所需的信号增益 (G) 和当 V_{IN} 位于范围中心时需要上移的 V_{OUT} 量 (ΔV_{OUT})，以下公式可给出产生所需性能的电阻器阻值。假设 R_4 介于 $200\ \Omega$ 和 $1.5k\ \Omega$ 之间。

$$NG = G + V_{OUT}/V_S$$

$$R_1 = R_4/G$$

$$R_2 = R_4/(NG - G)$$

$$R_3 = R_4/(NG - 1)$$

其中：

$$NG = 1 + R_4/R_3$$

$$V_{OUT} = (G)V_{IN} + (NG - G)V_S$$

确保 V_{IN} 和 V_{OUT} 保持在指定的输入和输出电压范围内。

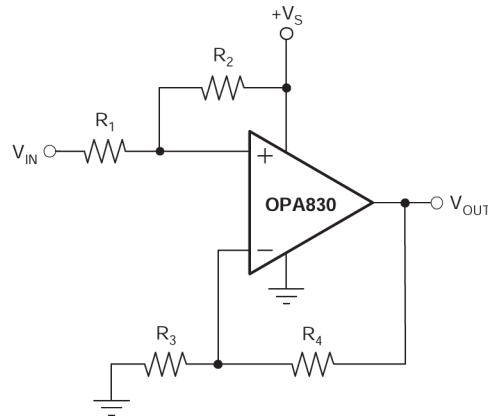


图 8-4. 直流电平转换

首页上的电路是此类应用的一个很好的示例。该电路被设计为在使用 3V 电源时接受介于 0V 和 0.5V 之间的 V_{IN} 并产生介于 1V 和 2V 之间的 V_{OUT} 。该配置意味着 $G = 2.00$ ， $\Delta V_{OUT} = 1.50V - G \times 0.25V = 1.00V$ 。将这些值代入前面的公式 ($R_4 = 750\ \Omega$) 可得出： $NG = 2.33$ ， $R_1 = 375\ \Omega$ ， $R_2 = 2.25k\ \Omega$ ， $R_3 = 563\ \Omega$ 。电阻器更改为首页电路最接近的标准值。

8.1.3 优化电阻器阻值

OPA830 是一款单位增益稳定的电压反馈运算放大器；因此，反馈和增益设置电阻器阻值具有很宽的范围。这些值的主要限制由动态范围（噪声和失真）和寄生电容考虑因素设定。对于同相单位增益跟随器应用，可以通过直接短接来建立反馈连接。

当低于 $200\ \Omega$ 时，反馈网络会产生额外的输出负载，这会使 OPA830 的谐波失真性能降低。当高于 $1\text{k}\ \Omega$ 时，反馈电阻器上的典型寄生电容（约 0.2pF ）会导致放大器响应中产生意外的频带限制。

一个好的做法是将 R_F 和 R_G 的并联组合（另请参阅图 8-3）设为小于约 $400\ \Omega$ 。 $R_F \parallel R_G$ 的组合阻抗与反相输入电容相互作用，在反馈网络中置入一个额外的极点，从而在正向响应中形成一个零点。假设反相节点上的总寄生电容为 2pF ，通过保持 $R_F \parallel R_G < 400\ \Omega$ ，可以使该极点大于 200MHz 。该约束单独意味着反馈电阻器 R_F 在高增益下可能会增加到几 $\text{k}\ \Omega$ 。如果 R_F 形成的极点和任何并联的寄生电容都不在目标频率范围内，则这种增加是可以接受的。

在反相配置中，请注意额外的设计考虑因素： R_G 成为输入电阻器，因此成为驱动源的负载阻抗。如果需要阻抗匹配，则可以将 R_G 设置为等于所需的端接值。但是，在低反相增益下，产生的反馈电阻器阻值可能会给放大器输出带来很大的负载。例如，使用 $50\ \Omega$ 输入匹配电阻器（ $= R_G$ ）时，要实现反相增益 2，则需要一个 $100\ \Omega$ 反馈电阻器，这将增大与外部负载并联的输出负载。在这种情况下，增加 R_F 和 R_G 值，然后通过第三个接地电阻器实现输入匹配阻抗（请参阅图 8-5）。总输入阻抗将成为 R_G 和附加分流电阻器的并联组合。

8.1.4 带宽与增益：同相运行

随着信号增益的增加，电压反馈运算放大器的闭环带宽会逐渐减小。从理论上讲，这种关系如规格中显示的增益带宽积 (GBP) 所述。理想情况下，GBP 除以同相信号增益（也称为噪声增益，即 NG）可预测出闭环带宽。在实际情况下，仅当相位裕度接近 90° 时该预测才成立，正如高增益配置中一样。在低增益（增加反馈因子）的情况下，大多数放大器会呈现更复杂的响应并具有更小的相位裕度。OPA830 经过补偿后在同相增益为 2 的情况下可提供略微达到峰值的响应（请参阅图 8-3）。该补偿可在 110MHz 带宽下获得 +2 的典型增益，这远远超过 110MHz GBP 除以 2 所预测出的结果。增加增益会使用相位裕度接近 90° ，并使带宽更接近 (GBP/NG) 的预测值。增益为 +10 时，电气特性中显示的 11MHz 带宽与使用简单公式和 110MHz 典型 GBP 预测的结果一致。

只需将噪声增益增加到 3，即可修改增益为 +2 的频率响应以实现出色的平坦度。在不影响 +2 信号增益的情况下，一种方法是在两个输入之间添加一个 $2.55\text{k}\ \Omega$ 电阻器（另请参阅图 8-9）。可以使用类似的技术来降低单位增益（电压跟随器）应用中的峰值。例如，通过在两个运算放大器输入端使用一个 $750\ \Omega$ 反馈电阻器和一个 $750\ \Omega$ 电阻器，电压跟随器响应将类似于图 8-2 中的 +2 增益响应。进一步降低运算放大器输入端电阻器阻值会因噪声增益增加而进一步抑制频率响应。与 $\pm 5\text{V}$ 相比，单电源 (5V) 运行时 OPA830 的带宽降幅极小。这种降幅最小的原因是，当电源引脚之间的总电源电压发生变化时，内部偏置控制电路可保持几乎恒定的静态电流。

8.1.5 反相放大器运行

设计人员可以使用 OPA830 来实现所有熟悉的运算放大器应用电路。有关典型的反相配置，请参阅图 8-5，其中图 8-1 中的 I/O 阻抗和信号增益保留在反相电路配置中。反相运行是更常见的要求之一，可提供多种性能优势。反相运行还使输入能够在 $V_S/2$ 处偏置，而不会出现任何余量问题。可以使用耦合电容器或偏置调节电阻器将输出电压独立移至输出电压范围内。

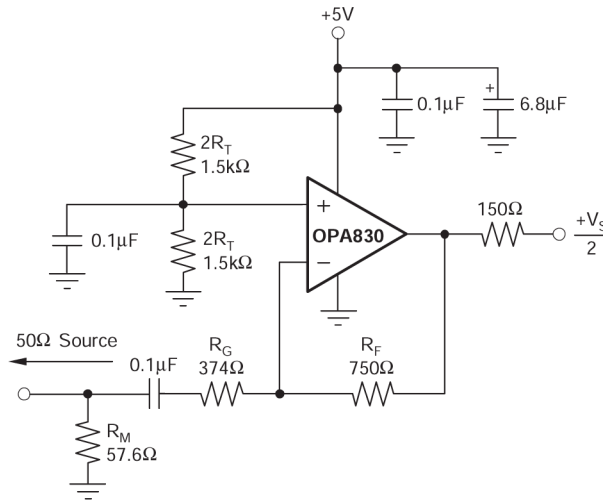


图 8-5. 交流耦合、 $G = -2$ 示例电路

在反相配置中，请注意三个关键设计考虑因素。第一个考虑因素是增益电阻器 (R_G) 成为信号通道输入阻抗的一部分。如果需要输入阻抗匹配（每当信号通过电缆、双绞线、长 PCB 布线或其他传输线导体耦合时，这都很有用），可以将 R_G 设置为等于所需的端接值，并且可以调整 R_F 以提供所需的增益。这是最简单的方法，可实现优化的带宽和噪声性能。

但是，在低反相增益下，产生的反馈电阻器阻值可能会给放大器输出带来很大的负载。对于反相增益为 2 的情况，通过将 R_G 设置为 $50\ \Omega$ 以实现输入匹配，无需使用 R_M ，但需要使用 $100\ \Omega$ 反馈电阻器。该配置具有一个有趣的优势，即 $50\ \Omega$ 源阻抗的噪声增益变为 2，这与前面考虑的同相电路相同。放大器输出现在将 $100\ \Omega$ 反馈电阻器与外部负载并联。通常，将反馈电阻器限制在 $200\ \Omega$ 至 $1.5\text{k}\ \Omega$ 范围内。在这种情况下，增加 R_F 和 R_G 值（另请参阅图 8-5），然后通过第三个接地电阻器 (R_M) 实现输入匹配阻抗。总输入阻抗成为 R_G 和 R_M 的并联组合。

上一段中简要提到的第二个主要考虑因素是信号源阻抗成为噪声增益公式的一部分，因此会影响带宽。对于图 8-5 中的示例， R_M 值与外部 $50\ \Omega$ 源阻抗（在高频下）并联，产生有效驱动阻抗 $50\ \Omega \parallel 57.6\ \Omega = 26.8\ \Omega$ 。该阻抗以与 R_G 串联的方式进行添加，用于计算噪声增益。对于图 8-5，产生的噪声增益为 2.87，而如果如上所述消除 R_M ，则噪声增益仅为 2。因此，图 8-5 中增益为 -2 的电路 ($NG = +2.87$) 的带宽将低于图 8-1 中增益为 $+2$ 的电路的带宽。

反相放大器设计的第三个重要考虑因素是在同相输入端设置偏置电流消除电阻器 ($R_T = 750\ \Omega$ 的并联组合)。如果该电阻器被设置为等于来自反相节点的总直流电阻，则输出直流误差会由于输入偏置电流而会减小为（输入失调电流）乘以 R_F 。将直流阻断电容器与 R_G 串联后，反相模式下的直流源阻抗仅为图 8-5 中的 $R_F = 750\ \Omega$ 。为了降低该电阻器和电源馈通引入的额外高频噪声，请使用电容器绕过 R_T 。

8.1.6 输出电流和电压

OPA830 可提供出色的输出电压性能。对于 5V 电源，在 $+25^\circ\text{C}$ 的空载条件下，输出电压通常在任一电源轨的小于 90mV 范围内摆动。

在整个温度范围内，最小额定输出电压和电流规格是在极端寒冷的情况下通过最坏情况仿真设定的。只有在冷启动时，输出电流和电压才会降至指定的表中所示的数字。当输出晶体管输出功率时，结温升高， V_{BE} 减小（可用

的输出电压摆幅增大)，而电流增益增大（可用的输出电流增大）。在稳态运行时，由于输出级结温大于最小额定工作环境温度，因此可用的输出电压和电流总是大于过热规格中所示的输出电压和电流。

为了保持最大的输出级线性，不会提供输出短路保护。该配置通常不是问题，因为大多数应用都在输出端包含一个串联匹配电阻器，如果该电阻器的输出端出现接地短路，则会限制内部功耗。但是，将输出引脚直接短接到相邻的正电源引脚（8 引脚封装）在大多数情况下会损坏放大器。如果需要额外的短路保护，则可以考虑在电源引线中加入一个小串联电阻器。该电阻器可降低高输出负载下的可用输出电压摆幅。

8.1.7 驱动容性负载

对于运算放大器来说，要求最苛刻但很常见的负载条件之一是容性负载。通常情况下，容性负载是 ADC 的输入（包括可推荐用于改善 ADC 线性度的附加外部电容）。当容性负载直接置于输出引脚上时，高速高开环增益放大器（如 OPA830）可能非常容易降低稳定性和闭环响应峰值。当主要考虑因素为频率响应平坦度、脉冲响应保真度或失真时，最简单和最有效的解决方案是在放大器输出端与容性负载之间插入串联隔离电阻器来隔离容性负载与反馈环路。

典型特性曲线显示了建议的 R_S 与容性负载间的关系以及在该负载下产生的频率响应。大于 2pF 的寄生容性负载会开始降低 OPA830 的性能。较长的 PCB 布线、不匹配的电缆以及连接到多个器件都会很容易导致超出该值。务必仔细考虑这种影响，并将建议的串联电阻器放置在尽可能靠近输出引脚的位置（请参阅 *布局指南* 部分）。

设置该 R_S 电阻器的标准是在负载下实现最大带宽和平坦的频率响应。对于 +2 增益，在没有容性负载的情况下，输出引脚上的频率响应已经略微达到峰值，从而需要相对较高的 R_S 值来使负载下的响应变得平坦。增大噪声增益也会降低峰值（请参阅图 8-9）。

8.1.8 失真性能

OPA830 针对 150 Ω 负载提供了良好的失真性能。相对于其他解决方案，OPA830 可在较轻的负载条件下提供出色的性能，并可由 3V 单电源供电。一般情况下，在基波信号达到非常高的频率或功率等级之前，二次谐波在失真中占主导，而三次谐波分量可以忽略不计。再关注二次谐波，增加负载阻抗可直接改善失真。请注意，总负载包括反馈网络；在同相配置中（请参阅图 8-3），该结果为 $R_F + R_G$ 之和，而在反相配置中，仅必须包含与实际负载并联的 R_F 。运行差分会抑制二次谐波（另请参阅差分典型特性曲线）。

8.1.9 噪声性能

高压摆率、单位增益稳定、电压反馈运算放大器通常会以更高的输入噪声电压为代价来实现压摆率。但 OPA830 的输入电压噪声为 $9.2\text{nV}/\sqrt{\text{Hz}}$ ，远低于同类放大器。以输入为基准的电压噪声和两个以输入为基准的电流噪声项 ($2.8\text{pA}/\sqrt{\text{Hz}}$) 相结合，可在各种工作条件下提供低输出噪声。图 8-6 展示了包含所有噪声项的运算放大器噪声分析模型。在此模型中，所有的噪声项均视为噪声电压或电流密度项 (以 $\text{nV}/\sqrt{\text{Hz}}$ 或 $\text{pA}/\sqrt{\text{Hz}}$ 为单位)。

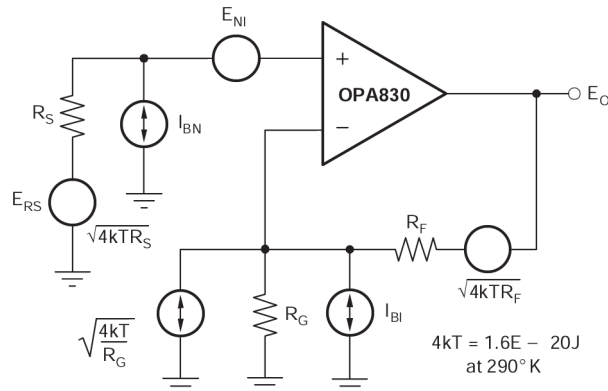


图 8-6. 噪声分析模型

总输出点噪声电压可以计算为所有输出噪声电压贡献项之和的平方根。图 8-4 使用图 8-6 所示的噪声项显示了输出噪声电压的一般形式：

$$E_O = \sqrt{\left(E_{NI}^2 + (I_{BN}R_S)^2 + 4kTR_S\right)NG^2 + (I_{BI}R_F)^2 + 4kTR_FNG} \quad (4)$$

将该表达式除以噪声增益 ($NG = (1 + R_F/R_G)$) 可得出同相输入端的等效输入基准点噪声电压，如图 8-7 中所示：

$$E_N = \sqrt{E_{NI}^2 + (I_{BN}R_S)^2 + 4kTR_S + \left(\frac{I_{BI}R_F}{NG}\right)^2 + \frac{4kTR_F}{NG}} \quad (5)$$

将图 8-1 中所示的电路和元件值代入这些公式，可计算得出总输出点噪声电压为 $19.3\text{nV}/\sqrt{\text{Hz}}$ ，而总等效输入点噪声电压为 $9.65\text{nV}/\sqrt{\text{Hz}}$ 。该结果包括电阻器增加的噪声。该以输入为基准的总噪声电压并非远高于单独的运算放大器电压噪声规格 $9.2\text{nV}/\sqrt{\text{Hz}}$ 。

8.1.10 直流精度和偏移控制

宽带电压反馈运算放大器的平衡输入级可在各种应用中实现良好的输出直流精度。OPA830 的电源电流调整功能可以比同类产品实现更严格的控制。尽管高速输入级确实需要相对较高的输入偏置电流 (通常是每个输入端子需要 $5\mu\text{A}$)，但引脚之间的紧密匹配可用于减小由该电流引起的输出直流误差。该减小是通过匹配两个输入端的直流源电阻来实现的。通过评估图 8-3 的配置 (具有匹配的直流输入电阻) 可知，使用最坏情况 $+25^\circ\text{C}$ 输入失调电压和电流规格，得出最坏情况输出失调电压等于：

$$\begin{aligned} & (NG = \text{noninverting signal gain at DC}) \\ & \pm(NG \times V_{OS(\text{MAX})}) + (R_F \times I_{OS(\text{MAX})}) \\ & = \pm(2 \times 7\text{mV}) \times (375\Omega \times 1\mu\text{A}) \\ & = \pm 14.38\text{mV} \end{aligned}$$

通常需要精密的输出失调电压消除或直流工作点调整。有很多技术可用于将直流失调电压控制引入到运算放大器电路中。这些技术大多基于通过反馈电阻器添加直流电流。在选择失调电压修整方法时，一个关键考虑因素是对所需信号路径频率响应的影响。如果信号路径打算是同相的，则最好对反相求和和信号应用失调电压控制，以避免与信号源相互作用。如果信号路径打算是反相的，则可以考虑对同相输入应用失调电压控制。通过远大于信号路

径电阻器的电阻器阻值，将直流失调电流引入反相输入节点。该调节电路配置对环路增益的影响极小，因此对频率响应的影响也很小。

8.1.11 热分析

所需的最高结温决定了允许的最大内部功率耗散。不要让最高结温超过 150°C。

工作结温 (T_J) 由 $T_A + P_D \times \theta_{JA}$ 给出。总内部功率耗散 (P_D) 是静态功耗 (P_{DQ}) 和输出级中用于提供负载功率的额外功耗 (P_{DL}) 的总和。静态功耗就是指定的空载电源电流乘以整个器件的总电源电压。 P_{DL} 取决于所需的输出信号和负载；不过，对于连接到 $V_S/2$ 的阻性负载，当输出固定在等于 $V_S/4$ 或 $3V_S/4$ 的电压时， P_{DL} 处于最大值。在此条件下， $P_{DL} = V_S^2/c \times (16 \times R_L)$ ，其中 R_L 包括反馈网络负载。

这是输出级中的功耗，而不是决定了内部功率耗散的负载中的功耗。

作为最坏情况下的示例，使用图 8-1 所示在 85°C 最高额定环境温度下运行并在 $1/2 V_S$ 下驱动 150Ω 负载的电路中的 OPA830 (SOT-23-5 封装) 计算最大 T_J 。

$$P_D = 10V \times 3.9mA + 52/(16 \times (150 \Omega \parallel 750 \Omega)) = 51.5mW$$

$$\text{最大 } T_J = 85^\circ\text{C} + (0.051W \times 186.3^\circ\text{C/W}) = 94.5^\circ\text{C}。$$

尽管该结果仍然远低于额定最大结温，但出于系统可靠性方面的考虑，可能需要较低的额定结温。如果负载需要在高输出电压下强制电流进入输出端，或从低输出电压下的输出端提供电流，则会发生最高的可能内部耗散。该配置通过输出晶体管中较大的内部压降提供高电流。

8.2 典型应用

8.2.1 单电源 ADC 接口

首页上的 ADC 接口显示了直流耦合单电源 ADC 驱动器电路。许多系统现在都需要 ADC 和驱动器具有 3V 供电能力。OPA830 可以在该严苛的应用中提供出色的性能。大输入和输出电压范围以及低失真支持第 1 页的图中所示的 THS1040 等转换器。输入电平转换电路的设计使 V_{IN} 可介于 0V 和 0.5V 之间，同时为 THS1040 提供 1V 至 2V 的输出电压。

8.2.2 交流耦合输出视频线路驱动器

低功耗和低成本视频线路驱动器通常将增益为 2 的数模转换器 (DAC) 输出缓冲到双端接线路中。这些接口通常需要使用一个直流阻断电容器。对于简单的设计而言，该接口通常使用容值非常大的阻断电容器 (220 μ F) 来限制帧之间的倾斜度，即 SAG。图 8-7 显示了一种使用低得多的电容器容值来创建非常低的高通极点位置的方法。该电路在输出引脚上提供电压增益 2，并具有 8Hz 的高通极点。给定 150 Ω 负载后，一种简单的阻断电容器方法需要 133 μ F 容值。两个容值低得多的电容器使用图 8-7 的该简单 SAG 校正电路提供此相同的低通极点。

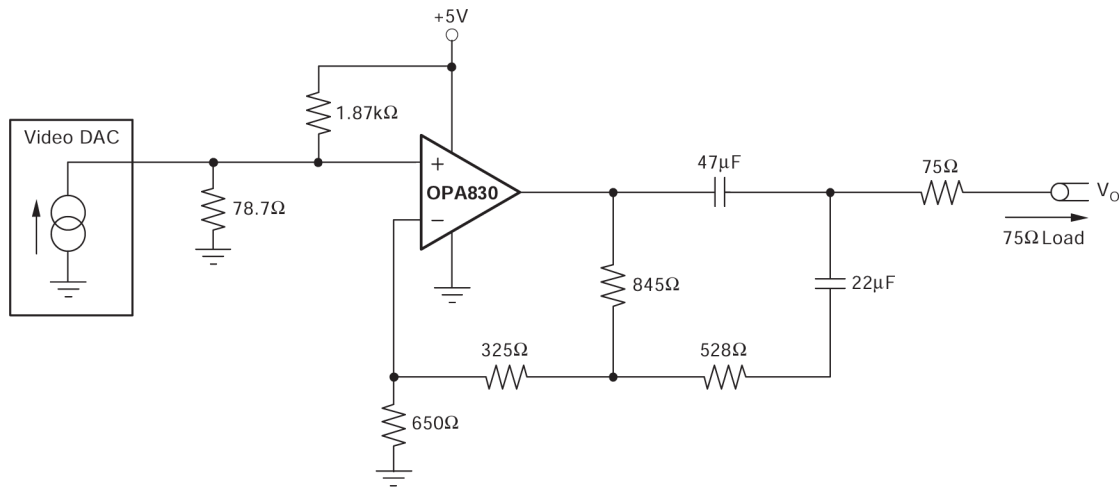


图 8-7. 具有 SAG 校正功能的视频线路驱动器

在图 8-7 中，使用正电源的分压器将输入稍微向正方向移动。该移动可提供大约 200mV 的输入直流失调电压，当 DAC 输出在视频信号的同步端部分处于零电流时，在输出引脚上显示为 400mV 直流失调电压。该失调电压用于将输出保持在线性工作区域内。该失调电压会以大约 -20dB 的增益将任何电源噪声传递到输出，因此建议在电源引脚上进行良好的电源去耦。图 8-8 显示了图 8-7 的电路的频率响应。该图显示了 8Hz 低频高通极点 and 大约 100MHz 的高端截止频率。

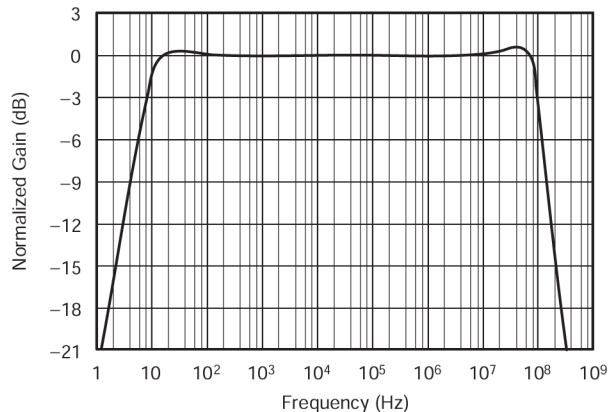


图 8-8. 视频线路驱动器对匹配负载的响应

8.2.3 具有较小峰值的同相放大器

图 8-9 显示了一个可减小低增益下的峰值的同相放大器。电阻器 R_C 可补偿 OPA830，以具有更大的噪声增益 (NG)，从而在不改变直流增益的情况下降交流响应峰值 ($G = +1$ 时通常为 5dB，无 R_C)。 V_{IN} 必须是低阻抗源 (例如运算放大器)。电阻器阻值较低，以降低噪声。使用 R_T 和 R_F 有助于最大限度地减小寄生阻抗的影响。

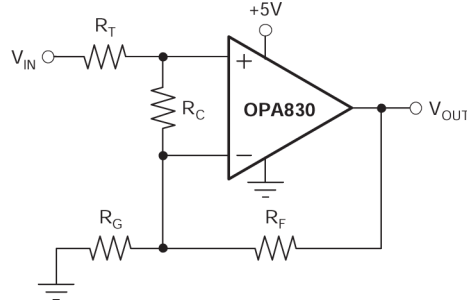


图 8-9. 经补偿的同相放大器

噪声增益的计算公式如下：

$$G_1 = 1 + \frac{R_F}{R_G} \quad (1)$$

$$G_2 = 1 + \frac{R_T + \frac{R_F}{G_1}}{R_C} \quad (2)$$

$$NG = G_1 \times G_2 \quad (3)$$

可以通过选择 $R_T = R_F = 20.0 \Omega$ 和 $R_C = 40.2 \Omega$ 来设计单位增益缓冲器 (不使用 R_G)。该配置提供的噪声增益为 2，因此响应与 $G = +2$ 时的特性图类似。将 R_C 减小至 20.0Ω 会将噪声增益增加至 3，这通常会提供平坦的频率响应，但带宽较小。

通过将噪声增益增加至 3，可以重新设计图 8-1 中的电路，以减小峰值。可以通过在运算放大器输入端添加 $R_C = 2.55k \Omega$ 来实现该重新设计。

8.2.4 单电源有源滤波器

OPA830 由单个 3V 或 5V 电源供电时可以很好地与高频有源滤波器设计配合使用。同样，关键附加要求是在最高动态范围的电源中点附近建立信号的直流工作点。图 8-10 显示了采用 Sallen-Key 拓扑的 1MHz 低通巴特沃斯滤波器的设计示例。

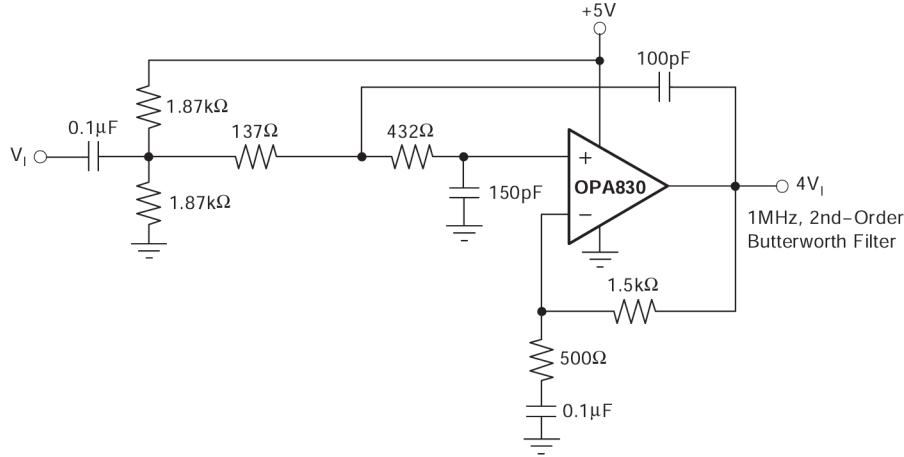


图 8-10. 单电源高频有源滤波器

输入信号和增益设置电阻器均使用 $0.1\ \mu\text{F}$ 阻断电容器进行交流耦合 (实际提供带通响应, 对于所示的元件值, 低频极点设置为 32kHz)。如针对图 8-1 的讨论所述, 该配置允许由两个 $1.87\text{k}\Omega$ 电阻器形成的中点偏置出现在输入和输出引脚上。在这种情况下, 中频信号增益被设置为 $+4$ (12dB)。同相输入端的接地电容器特意被设置得较大, 以主导输入寄生项。当增益为 $+4$ 时, 采用单电源的 OPA830 显示了 30MHz 小信号和大信号带宽。电阻器阻值经过细微调整, 以解决放大器级中的该有限带宽问题。对该电路的测试表明, 该电路具有精确的 1MHz 、 -3dB 点和最大平坦通带 (大于 32kHz 交流耦合角), 并且在放大器 -3dB 带宽为 30MHz 时具有 36dB 的最大阻带衰减。

8.3 布局

8.3.1 布局指南

为了使用 OPA830 等高频放大器实现出色性能，需要特别注意电路板布局布线的寄生和外部元件类型。优化性能的建议包括：

1. **尽可能减小所有信号 I/O 引脚的连接到任何交流接地端的寄生电容。**输出引脚和反相输入引脚上的寄生电容可能导致不稳定；在同相输入端，寄生电容可与源阻抗发生反应，造成意外的频带限制。为了减少不必要的电容，信号 I/O 引脚周围的窗口应在这些引脚周围的所有接地平面和电源平面中打开。否则，请确保电路板其他位置处的接地和电源平面完好无损。
2. **尽可能减小电源引脚到高频 0.1 μF 去耦电容器的距离 (< 0.25")。**在器件引脚上，不要将接地平面和电源平面布局靠近信号 I/O 引脚。避免电源布线和接地布线过于狭窄，以便尽可能减小引脚和去耦电容器之间的电感。每个电源接头应始终与这些电容器之一解耦。两个电源（适用于双极性工作模式）之间的可选电源解耦电容器 (0.1 μF) 可改善二次谐波失真性能。在主电源引脚上使用较大的 (2.2 μF 至 6.8 μF) 去耦电容器（在较低频率下有效）。可将这些电容器远离器件放置，并可在 PCB 同一区域内的多个器件之间共享这些电容器。
3. **谨慎选择和放置外部元件以保持高频性能。**使用电抗类型非常低的电阻器。表面贴装式电阻器最适合，并可实现更紧密的总体布局。金属膜或碳成分的轴向引线电阻器也可以提供良好的高频性能。同样，尽可能缩短引线和 PCB 布线。切勿在高频应用中使用绕线式电阻器。由于输出引脚和反相输入引脚对寄生电容极为敏感；因此务必将反馈电阻器和串联输出电阻器（如有）尽可能靠近输出引脚放置。将其他网络组件（例如同相输入终端电阻器）放置在封装附近。在允许双面组件安装的情况下，将反馈电阻器直接放置在电路板另一面封装下面，即输出引脚和反相输入引脚之间。即使很小的寄生电容对外部电阻器进行分流，过高的电阻值也会产生明显的时间常数，从而降低性能。良好的轴向金属膜或表面贴装电阻器有大约 0.2pF 的电容与电阻器并联。对于大于 1.5k Ω 的电阻器阻值，该寄生电容可能在 500MHz 以下添加一个极点和/或零点，从而影响电路运行。根据负载驱动注意事项的要求，尽可能降低电阻值。典型特性中使用的 750 Ω 反馈是设计的良好起点。
4. **使用较短的直接布线或通过板载传输线实现与电路板上其他宽带器件的连接。**对于短连接，应考虑将布线和下一个器件的输入视为集总容性负载。使用相对较宽的布线（50mil 至 100mil），最好在其周围打开接地平面和电源平面。估算总容性负载并设置 R_S （根据典型特性曲线建议的 R_S 与容性负载间的关系）。低寄生容性负载 (< 5pF) 并不总是需要 R_S ，因为 OPA830 会在名义上得到补偿，从而使用 2pF 的寄生负载运行。随着信号增益的增加（增加空载相位裕度），允许没有 R_S 的更高寄生容性负载。如果需要很长的布线，并且可以接受双端接传输线固有的 6dB 信号损耗，则可以使用微带或带状线技术来实施匹配阻抗传输线（有关微带和带状线布局技术，请参阅 ECL 设计手册）。电路板上通常不需要 50 Ω 阻抗的环境，实际上，较高阻抗的环境可以改善失真；另请参阅失真与负载间的关系图。在电路板上使用连接到 OPA830 输出端引线的匹配串联电阻器，以及位于目标器件输入端的终端分流电阻器（这些电阻器具有根据电路板材料和引线尺寸定义的特性电路板引线阻抗）。还应注意，端接阻抗是分流电阻和目标器件输入阻抗的并联组合；将该总有效阻抗设置为与引线阻抗相匹配。如果不能接受双端接传输线的 6dB 衰减，则只能在源端对长引线进行串联短接。在这种情况下，应将引线视为容性负载，并按照典型特性曲线建议的 R_S 与容性负载间的关系所示设置串联电阻器阻值。该配置不能保持信号完整性以及双端接线路。如果目标器件的输入阻抗较低，则由于连接到端接阻抗的串联输出会形成分压器，因此会发生一定程度的信号衰减。
5. **请勿通过插座连接高速器件。**由插座引起的额外引线长度和引脚间电容可能会造成非常麻烦的寄生网络，从而几乎不可能实现平稳的频率响应。通过将 OPA830 焊接到电路板上可获得最佳效果。

8.3.1.1 输入和 ESD 保护

OPA830 采用非常高速的互补双极性工艺制造而成。这些非常小的几何器件的内部结击穿电压相对较低。这些细目反映在绝对最大额定值中。如图 8-11 所示，所有器件引脚都由连接到电源的内部 ESD 保护二极管进行保护。

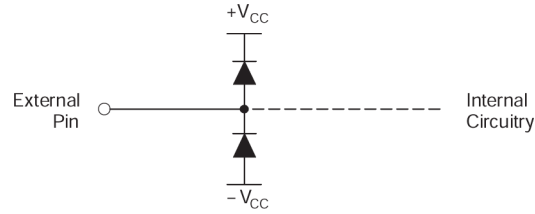


图 8-11. 内部 ESD 保护

这些二极管还针对大于电源电压的输入过驱电压提供温和保护。这些保护二极管通常可支持 **30mA** 的连续电流。在可能有较高电流的情况下（即在将 $\pm 15V$ 电源器件驱动到 OPA830 中的系统中），应在两个输入端添加限流串联电阻器。应尽可能降低这些电阻器的电阻值，因为高电阻值会降低噪声性能和频率响应。

9 器件和文档支持

TI 提供广泛的开发工具。下面列出了用于评估器件性能、生成代码和开发解决方案的工具和软件。

9.1 器件支持

9.1.1 开发支持

9.1.1.1 演示板

我们提供两块印刷电路板 (PCB)，可帮助初步评估在两个封装选项中使用 OPA830 时的电路性能。两块电路板都作为空白 PCB 免费提供，并随附一份用户指南。这些装置的摘要信息如表 9-1 所示。

表 9-1. 不同封装的演示装置

产品	封装	订购号	文献编号
OPA830ID	SO-8	DEM-OPA-SO-1A	SBOU009
OPA830IDBV	SOT23-5	DEM-OPA-SOT-1A	SBOU010

可通过德州仪器 (TI) 网站上的 [OPA830 产品文件夹](#) 来申请演示装置。

9.1.1.2 精简模型和应用支持

使用 SPICE 对电路性能进行计算机仿真通常是分析 OPA830 和电路设计性能的快速方法。对于视频和射频放大器电路而言尤其如此，在这些电路中，寄生电容和电感可能对电路性能具有重大的影响。可以通过 TI 网页获取 OPA830 的 SPICE 模型。应用部门也可提供设计帮助。这些模型预测了各种工作条件下的典型小信号交流、瞬态阶跃、直流性能和噪声。这些模型包括数据表电气规格中的噪声项。这些模型不会尝试区分小信号交流性能中的封装类型。

9.2 接收文档更新通知

要接收文档更新通知，请导航至 [ti.com](#) 上的器件产品文件夹。点击 [通知](#) 进行注册，即可每周接收产品信息更改摘要。有关更改的详细信息，请查看任何已修订文档中包含的修订历史记录。

9.3 支持资源

[TI E2E™ 中文支持论坛](#) 是工程师的重要参考资料，可直接从专家处获得快速、经过验证的解答和设计帮助。搜索现有解答或提出自己的问题，获得所需的快速设计帮助。

链接的内容由各个贡献者“按原样”提供。这些内容并不构成 TI 技术规范，并且不一定反映 TI 的观点；请参阅 TI 的 [使用条款](#)。

9.4 商标

TI E2E™ is a trademark of Texas Instruments.

所有商标均为其各自所有者的财产。

9.5 静电放电警告



静电放电 (ESD) 会损坏这个集成电路。德州仪器 (TI) 建议通过适当的预防措施处理所有集成电路。如果不遵守正确的处理和安装程序，可能会损坏集成电路。

ESD 的损坏小至导致微小的性能降级，大至整个器件故障。精密的集成电路可能更容易受到损坏，这是因为非常细微的参数更改都可能会导致器件与其发布的规格不相符。

9.6 术语表

[TI 术语表](#) 本术语表列出并解释了术语、首字母缩略词和定义。

10 修订历史记录

注：以前版本的页码可能与当前版本的页码不同

Changes from Revision G (November 2024) to Revision H (December 2024)	Page
• 更新了绝对最大额定值中 DBV 封装的电源.....	4
• 将 D 封装电气特性重新添加到规格中.....	15
• 将 DBV 和 D 封装的电气特性移至单独的表中.....	15

Changes from Revision F (August 2008) to Revision G (November 2024)	Page
• 更新了整个文档中的表格、图和交叉参考的编号格式.....	1
• 添加了目录、引脚配置和功能、规格、ESD 等级、建议运行条件、热性能信息、参数测量信息、应用和实施、典型应用、布局、布局指南、器件和文档支持以及机械、封装和可订购信息部分.....	1
• 在说明中添加了封装信息表.....	1
• 更新了电气特性以匹配器件性能.....	15
• 更新了典型特性中的图.....	21
• 更新了热分析中的 θ_{JA}	42

Changes from Revision E (August 2007) to Revision F (August 2008)	Page
• 将绝对最大额定值中的贮存温度最小值从 -40°C 更改为 -65°C.....	4

Changes from Revision D (March 2006) to Revision E (August 2007)	Page
• 将特性中的 550V/ns 更改为 550V/ μ s.....	1

11 机械、封装和可订购信息

以下页面包含机械、封装和可订购信息。这些信息是指定器件可用的最新数据。数据如有变更，恕不另行通知，且不会对此文档进行修订。有关此数据表的浏览器版本，请查阅左侧的导航栏。

PACKAGING INFORMATION

Orderable Device	Status (1)	Package Type	Package Drawing	Pins	Package Qty	Eco Plan (2)	Lead finish/ Ball material (6)	MSL Peak Temp (3)	Op Temp (°C)	Device Marking (4/5)	Samples
OPA830ID	ACTIVE	SOIC	D	8	75	RoHS & Green	NIPDAU	Level-2-260C-1 YEAR	-40 to 85	OPA 830	Samples
OPA830IDBVR	ACTIVE	SOT-23	DBV	5	3000	RoHS & Green	NIPDAU	Level-2-260C-1 YEAR	-40 to 85	A72	Samples
OPA830IDBVRG4	ACTIVE	SOT-23	DBV	5	3000	RoHS & Green	NIPDAU	Level-2-260C-1 YEAR	-40 to 85	A72	Samples
OPA830IDBVT	OBSOLETE	SOT-23	DBV	5		TBD	Call TI	Call TI	-40 to 85	A72	
OPA830IDR	ACTIVE	SOIC	D	8	2500	RoHS & Green	NIPDAU	Level-2-260C-1 YEAR	-40 to 85	OPA 830	Samples

(1) The marketing status values are defined as follows:

ACTIVE: Product device recommended for new designs.

LIFEBUY: TI has announced that the device will be discontinued, and a lifetime-buy period is in effect.

NRND: Not recommended for new designs. Device is in production to support existing customers, but TI does not recommend using this part in a new design.

PREVIEW: Device has been announced but is not in production. Samples may or may not be available.

OBSOLETE: TI has discontinued the production of the device.

(2) **RoHS:** TI defines "RoHS" to mean semiconductor products that are compliant with the current EU RoHS requirements for all 10 RoHS substances, including the requirement that RoHS substance do not exceed 0.1% by weight in homogeneous materials. Where designed to be soldered at high temperatures, "RoHS" products are suitable for use in specified lead-free processes. TI may reference these types of products as "Pb-Free".

RoHS Exempt: TI defines "RoHS Exempt" to mean products that contain lead but are compliant with EU RoHS pursuant to a specific EU RoHS exemption.

Green: TI defines "Green" to mean the content of Chlorine (Cl) and Bromine (Br) based flame retardants meet JS709B low halogen requirements of <=1000ppm threshold. Antimony trioxide based flame retardants must also meet the <=1000ppm threshold requirement.

(3) MSL, Peak Temp. - The Moisture Sensitivity Level rating according to the JEDEC industry standard classifications, and peak solder temperature.

(4) There may be additional marking, which relates to the logo, the lot trace code information, or the environmental category on the device.

(5) Multiple Device Markings will be inside parentheses. Only one Device Marking contained in parentheses and separated by a "~" will appear on a device. If a line is indented then it is a continuation of the previous line and the two combined represent the entire Device Marking for that device.

(6) Lead finish/Ball material - Orderable Devices may have multiple material finish options. Finish options are separated by a vertical ruled line. Lead finish/Ball material values may wrap to two lines if the finish value exceeds the maximum column width.

Important Information and Disclaimer: The information provided on this page represents TI's knowledge and belief as of the date that it is provided. TI bases its knowledge and belief on information provided by third parties, and makes no representation or warranty as to the accuracy of such information. Efforts are underway to better integrate information from third parties. TI has taken and continues to take reasonable steps to provide representative and accurate information but may not have conducted destructive testing or chemical analysis on incoming materials and chemicals. TI and TI suppliers consider certain information to be proprietary, and thus CAS numbers and other limited information may not be available for release.

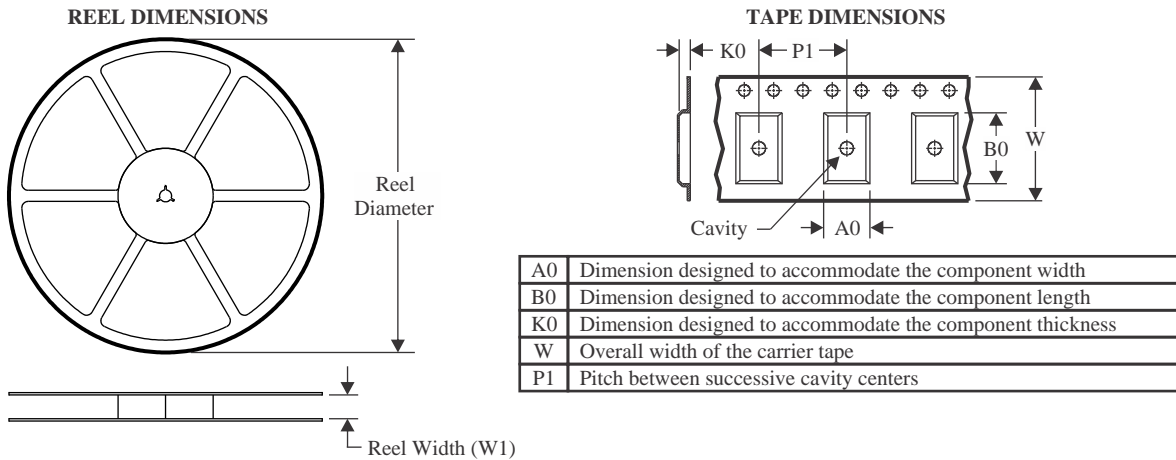
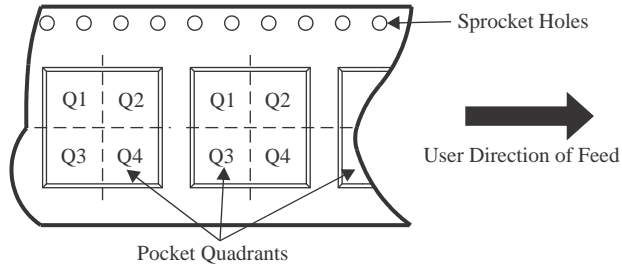
In no event shall TI's liability arising out of such information exceed the total purchase price of the TI part(s) at issue in this document sold by TI to Customer on an annual basis.

OTHER QUALIFIED VERSIONS OF OPA830 :

- Enhanced Product : [OPA830-EP](#)

NOTE: Qualified Version Definitions:

- Enhanced Product - Supports Defense, Aerospace and Medical Applications

TAPE AND REEL INFORMATION

QUADRANT ASSIGNMENTS FOR PIN 1 ORIENTATION IN TAPE


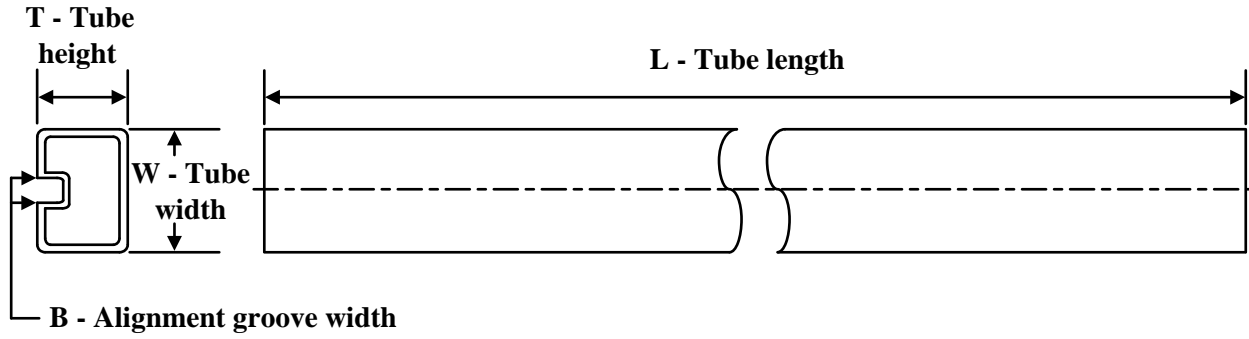
*All dimensions are nominal

Device	Package Type	Package Drawing	Pins	SPQ	Reel Diameter (mm)	Reel Width W1 (mm)	A0 (mm)	B0 (mm)	K0 (mm)	P1 (mm)	W (mm)	Pin1 Quadrant
OPA830IDR	SOIC	D	8	2500	330.0	12.4	6.4	5.2	2.1	8.0	12.0	Q1

TAPE AND REEL BOX DIMENSIONS


*All dimensions are nominal

Device	Package Type	Package Drawing	Pins	SPQ	Length (mm)	Width (mm)	Height (mm)
OPA830IDR	SOIC	D	8	2500	356.0	356.0	35.0

TUBE


*All dimensions are nominal

Device	Package Name	Package Type	Pins	SPQ	L (mm)	W (mm)	T (μm)	B (mm)
OPA830ID	D	SOIC	8	75	506.6	8	3940	4.32



D0008A

PACKAGE OUTLINE

SOIC - 1.75 mm max height

SMALL OUTLINE INTEGRATED CIRCUIT



4214825/C 02/2019

NOTES:

- Linear dimensions are in inches [millimeters]. Dimensions in parenthesis are for reference only. Controlling dimensions are in inches. Dimensioning and tolerancing per ASME Y14.5M.
- This drawing is subject to change without notice.
- This dimension does not include mold flash, protrusions, or gate burrs. Mold flash, protrusions, or gate burrs shall not exceed .006 [0.15] per side.
- This dimension does not include interlead flash.
- Reference JEDEC registration MS-012, variation AA.

EXAMPLE BOARD LAYOUT

D0008A

SOIC - 1.75 mm max height

SMALL OUTLINE INTEGRATED CIRCUIT



LAND PATTERN EXAMPLE
EXPOSED METAL SHOWN
SCALE:8X



SOLDER MASK DETAILS

4214825/C 02/2019

NOTES: (continued)

6. Publication IPC-7351 may have alternate designs.

7. Solder mask tolerances between and around signal pads can vary based on board fabrication site.

EXAMPLE STENCIL DESIGN

D0008A

SOIC - 1.75 mm max height

SMALL OUTLINE INTEGRATED CIRCUIT



SOLDER PASTE EXAMPLE
BASED ON .005 INCH [0.125 MM] THICK STENCIL
SCALE:8X

4214825/C 02/2019

NOTES: (continued)

8. Laser cutting apertures with trapezoidal walls and rounded corners may offer better paste release. IPC-7525 may have alternate design recommendations.
9. Board assembly site may have different recommendations for stencil design.

EXAMPLE BOARD LAYOUT

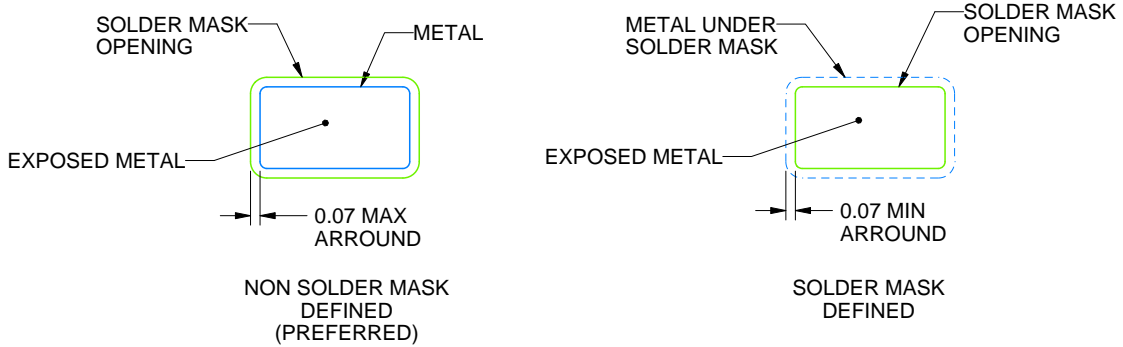
DBV0005A

SOT-23 - 1.45 mm max height

SMALL OUTLINE TRANSISTOR



LAND PATTERN EXAMPLE
EXPOSED METAL SHOWN
SCALE:15X



SOLDER MASK DETAILS

4214839/K 08/2024

NOTES: (continued)

- 6. Publication IPC-7351 may have alternate designs.
- 7. Solder mask tolerances between and around signal pads can vary based on board fabrication site.

EXAMPLE STENCIL DESIGN

DBV0005A

SOT-23 - 1.45 mm max height

SMALL OUTLINE TRANSISTOR



SOLDER PASTE EXAMPLE
BASED ON 0.125 mm THICK STENCIL
SCALE:15X

4214839/K 08/2024

NOTES: (continued)

8. Laser cutting apertures with trapezoidal walls and rounded corners may offer better paste release. IPC-7525 may have alternate design recommendations.
9. Board assembly site may have different recommendations for stencil design.

重要通知和免责声明

TI“按原样”提供技术和可靠性数据（包括数据表）、设计资源（包括参考设计）、应用或其他设计建议、网络工具、安全信息和其他资源，不保证没有瑕疵且不做任何明示或暗示的担保，包括但不限于对适销性、某特定用途方面的适用性或不侵犯任何第三方知识产权的暗示担保。

这些资源可供使用 TI 产品进行设计的熟练开发人员使用。您将自行承担以下全部责任：(1) 针对您的应用选择合适的 TI 产品，(2) 设计、验证并测试您的应用，(3) 确保您的应用满足相应标准以及任何其他功能安全、信息安全、监管或其他要求。

这些资源如有变更，恕不另行通知。TI 授权您仅可将这些资源用于研发本资源所述的 TI 产品的相关应用。严禁以其他方式对这些资源进行复制或展示。您无权使用任何其他 TI 知识产权或任何第三方知识产权。您应全额赔偿因在这些资源的使用中对 TI 及其代表造成的任何索赔、损害、成本、损失和债务，TI 对此概不负责。

TI 提供的产品受 [TI 的销售条款](#) 或 [ti.com](#) 上其他适用条款/TI 产品随附的其他适用条款的约束。TI 提供这些资源并不会扩展或以其他方式更改 TI 针对 TI 产品发布的适用的担保或担保免责声明。

TI 反对并拒绝您可能提出的任何其他或不同的条款。

邮寄地址：Texas Instruments, Post Office Box 655303, Dallas, Texas 75265
版权所有 © 2025，德州仪器 (TI) 公司